

Měsíční zpráva

Počasí, voda a ovzduší v ČR

Prosinec 2025

Jiřina Švábenická (Oddělení operativní služby)

Lenka Stašová (Oddělení všeobecné klimatologie)

Pavel Vacík (Oddělení meteorologie a klimatologie Plzeň)

Lukáš Urban Klabzuba (Oddělení hydrologických předpovědí)

Anna Lamačová, Radek Vlnas (Oddělení podzemních vod)

Hana Škáchová, Lucie Školoudová (Informační systém kvality ovzduší)

Obsah

Prosinec 2025 na území ČR.....	3
1 Synoptická situace	4
2 Klimatologické hodnocení	5
2.1 Teplota vzduchu	5
2.2 Srážky	7
2.3 Sluneční svit	9
3 Hydrologická situace.....	10
3.1 Povrchové vody	10
3.2 Podzemní vody.....	16
4 Kvalita ovzduší.....	24
4.1 Rozptylové podmínky	24
4.2 Suspendované částice PM ₁₀	25
4.3 Suspendované částice PM _{2,5}	28
4.4 Ostatní látky	31
4.5 Index kvality ovzduší.....	33
4.6 Smogový a varovný regulační systém	34

PROSINEC 2025 NA ÚZEMÍ ČR

Prosinec 2025 na území ČR hodnotíme jako teplotně normální a srážkově silně podnormální měsíc. Průměrná měsíční teplota vzduchu na území ČR (1,1 °C) byla o 1,5 °C vyšší než normál 1991–2020. Odchylna průměrné prosincové teploty je tak na hranici teplotně normálního a nadnormálního měsíce. V řadě průměrných prosincových teplot od roku 1961 se prosinec 2025 řadí jako 15. nejteplejší. Vůbec nejvyšší prosincová průměrná teplota (3,7 °C) byla zaznamenána v roce 2015 a naopak nejnižší (−6,3 °C) v roce 1969.

V průměru na našem území spadlo 17 mm srážek (37 % srážkového normálu 1991–2020). Průměrná délka slunečního svitu na území ČR byla tento měsíc 48,1 hodiny, což činí 119 % normálu 1991–2020.

Po většinu měsíce se průměrná denní teplota vzduchu na území ČR pohybovala nad hodnotou normálu, ochlazení pod hodnotu normálu nastalo až v posledních osmi dnech měsíce. Výrazně teplé období nastalo ve dnech 7. – 11. prosince, kdy byla odchylna průměrné denní teploty vzduchu od normálu více než +4,0 °C. Nejchladněji bylo ve dnech 24., 25. a 31. prosince s odchylkou průměrné teploty od normálu nižší než −2 °C. Dne 25. prosince panoval na většině našeho území celodenní mráz.

Výraznější srážky se vyskytovaly pouze v několika dnech. Z počátku měsíce se jednalo především o srážky dešťové, ve dnech 29. – 31. prosince byl na velké části našeho území zaznamenán nový sníh. Ve vyšších polohách, nejvíce na jihu Čech, byl nový sníh naměřen i ve dnech 23. a 24. prosince.

Z odtokového hlediska byl prosinec ve většině hlavních povodí převážně podprůměrným měsícem. Méně vody (cca polovina hodnot dlouhodobého prosincového průtoku) oteklo v povodí Labe a v povodí Vltavy, naopak více vody oteklo moravskými toky (ca 80 % Q_{XII}). Celkově byly průměrné prosincové průtoky nejčastěji v rozmezí od 35 do 100 % Q_{XII} s celkově mírně klesající tendencí. Vzrůstal počet suchých profilů. Vzhledem k nízkým teplotám v závěru měsíce se na tocích postupně projevovaly ledové jevy. Na žádném sledovaném profilu se nevyskytoval SPA.

Celkový stav hladiny v mělkém oběhu zůstal normální, vydatnost pramenů se zhoršila na silně podnormální. Stav hladiny hlubokých vrtů zůstal mírně podnormální.

V porovnání s 30letým průměrem 1991–2020 byly v prosinci výrazně horší rozptylové podmínky. Prosincová hodnota celorepublikových měsíčních průměrů koncentrací PM₁₀ a PM_{2,5} byla v roce 2025 nejnižší za období 2015–2025.

Níže uvedené údaje jsou pouze předběžné a mohou se ještě měnit, neboť data nebyla kompletně verifikována. Z důvodů procesu zpracování dat jsou do měsíčních hodnocení zahrnuta pouze neverifikovaná data z automatizovaných stanic.

1 SYNOPTICKÁ SITUACE¹

V první polovině prosince 2025 převládalo v oblasti mezi Amerikou a Evropou zonální proudění, v jeho druhé polovině měla cirkulace převážně meridionální charakter. Ve třetí dekádě bylo navíc proudění částečně omezeno rozložením tlakových útvarů. Proudění bránila tlaková níže nad jihozápadem evropského kontinentu a tlaková výše nad severovýchodním Atlantikem.

Po většinu první prosincové dekády proudil na území České republiky teplý vzduch od jihu, později jihozápadu. Začátek měsíce provázela především nízká inverzní oblačnost s minimem slunečního svitu, ze které vypadávaly pouze slabé srážky ve formě mrholení s celorepublikovým úhrnem 0,1 mm. Od 4. do 6. 12. se nad naším územím vlnilo frontální rozhraní. V souvislosti s ním spadlo nejvíce srážek ze 4. na 5. 12., celorepublikově 4,2 mm. Další srážky (2,1 mm) přinesla 7. 12. na naše území okluzní fronta, která přecházela přes Německo a Polsko dále k severovýchodu a částečně ovlivnila počasí i na našem území. Nejvíce srážek spadlo v západní polovině Čech, zejména na Šumavě. Mimo horské oblasti zaznamenaly výraznější srážky stanice Mariánské Lázně, Aš a Nejdek. Poté na naše území proudil od jihozápadu kolem tlakové výše nad jižní až jihovýchodní Evropou teplý vzduch. A tak konec první a začátek druhé dekády byl teplotně mimořádně nadprůměrný s odchylkou 4,3 °C od normálu 1981 až 2010.

Druhá dekáda byla srážkově výrazně podprůměrná. V její první polovině na našem území spadlo v průměru jen 2 mm srážek, což odpovídá 20 % normálu 1981 až 2010. Srážky vypadávaly především z nízké oblačnosti. Frontální srážky se objevily pouze 10. 12. a 13. 12. při přechodu studených front od severozápadu. V dalších dnech této dekády se významnější srážky již na našem území nevyskytovaly. Objevovalo se pouze ojediněle mrholení.

Inverzní počasí s minimem srážek pokračovalo i během třetí dekády. Po přední straně brázdy nízkého tlaku vzduchu nad západní Evropou k nám proudil teplejší vzduch od jihu, zejména ve vyšších vrstvách atmosféry. Maximální denní teploty se pohybovaly většinou mezi 0 °C až 5 °C, za slunečného počasí se však na horách ojediněle vyskytly teploty až kolem 9 °C, a to v pátek 26. 12. a v sobotu 27. 12. 2025. Největší podíl srážek spadl ve středu 24. 12., a to ve formě občasného sněžení, kdy byl zaznamenán nejvyšší úhrn na stanicích Vacov a Peckov (14,1 mm). Při přechodu studené fronty 30. 12. se na jižní Moravě objevily neobvyklé sněhové bouřky. Závěr prosince doprovázela velká oblačnost, čerstvý vítr a občasně sněžení ve spojení s přechodem frontálního systému.

¹ proudění meridionální je proudění ve směru podél poledníků, tj. od severu k jihu nebo naopak
proudění zonální je proudění vzduchu podél rovnoběžek ve směru západ-východ
proudění vzduchu podél rovnoběžek ve směru východ-západ se označuje jako východní (negativní) zonální proudění
<http://slovník.cmes.cz>

2 KLIMATOLOGICKÉ HODNOCENÍ

2.1 Teplota vzduchu

Průměrná měsíční teplota vzduchu na území ČR (1,1 °C) byla o 1,5 °C vyšší než normál 1991–2020. Prosinec tak hodnotíme jako teplotně normální, odchylka průměrné měsíční teploty vzduchu se však pohybovala na hranici teplotně normálního a nadnormálního měsíce. V řadě průměrných prosincových teplot od roku 1961 se prosinec 2025 řadí jako 15. nejteplejší. Vůbec nejvyšší prosincová průměrná teplota (3,7 °C) byla zaznamenána v roce 2015 a naopak nejnižší (−6,3 °C) v roce 1969. Podobně teplý byl i loňský prosinec 2024 s průměrnou teplotou 0,9 °C. Nejteplejší byl v období posledních deseti let prosinec 2015 (s průměrnou teplotou 3,7 °C), naopak nejchladnější byl prosinec 2016 (s průměrnou teplotou −0,5 °C).

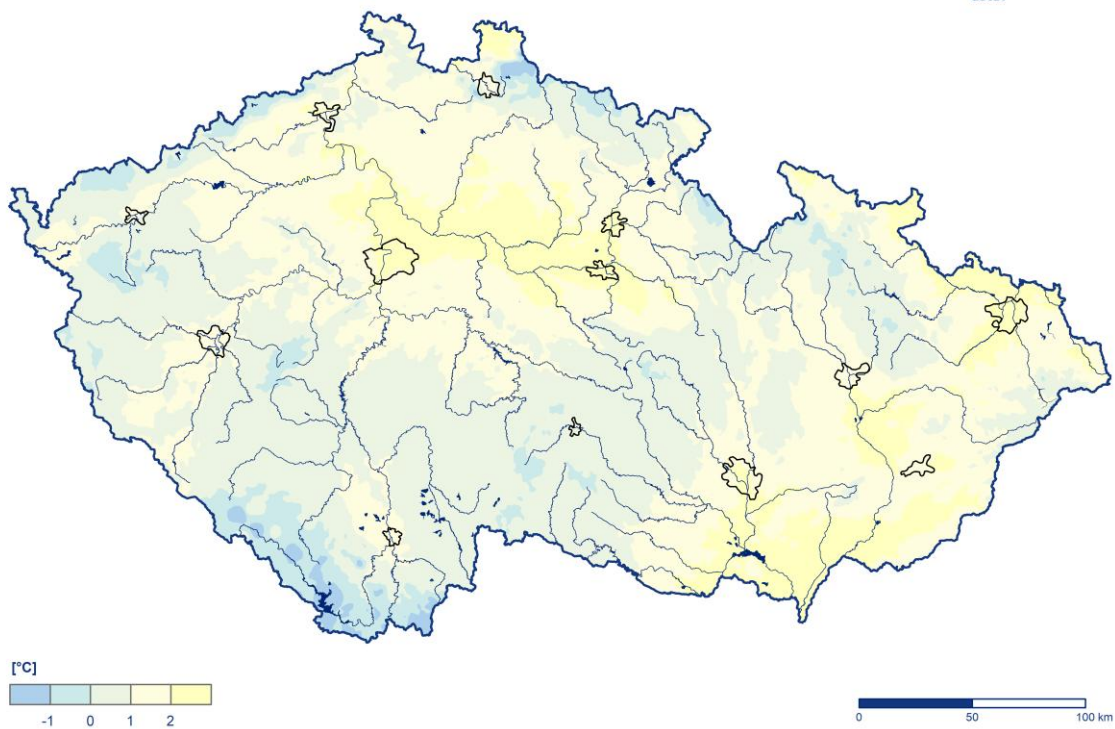
Po většinu měsíce se průměrná denní teplota vzduchu na území ČR pohybovala nad hodnotou normálu, ochlazení pod hodnotu normálu nastalo až v posledních osmi dnech měsíce (Obr. 2.1.3). Výrazně teplé období nastalo ve dnech 7. – 11. prosince, kdy byla odchylka průměrné denní teploty vzduchu od normálu 1991–2020 vyšší než +4,0 °C. Nejvyšší kladná odchylka průměrné denní teploty vzduchu od normálu byla zaznamenána dne 9. prosince (+7,8 °C). Nejchladněji bylo ve dnech 24., 25. a 31. prosince s odchylkou průměrné teploty od normálu nižší než −2 °C. Dne 25. prosince panoval na většině území celodenní mráz.

Ve třech dnech denní maxima teploty vzduchu na našem území dosáhla nebo překročila 15 °C a to 8. prosince na stanici Žatec, 9. prosince na 5 stanicích a 10. prosince na 8 stanicích. Nejvyšší hodnota maximální denní teploty vzduchu v tomto měsíci 16,4 °C byla zaznamenána 9. prosince na stanici České Budějovice, Rožnov (okres České Budějovice). Dosud historicky nejvyšší prosincová maximální denní teplota vzduchu 19,8 °C byla naměřena dne 5. prosince 1961 na stanici Fryčovice (okres Frýdek-Místek).

Nejnižší denní minimální teplota vzduchu −19,6 °C byla v tomto měsíci naměřena 31. prosince na stanici Horská Kvilda (okres Klatovy). Pokud uvažujeme i stanice mimo standardní síť ČHMÚ, nejnižší hodnota −20,3 °C byla zaznamenána ve stejný den na stanici Horská Kvilda u Hamerského potoka (okres Prachatice). Historicky nejnižší prosincová minimální denní teplota vzduchu −34,0 °C byla naměřena 21. prosince 1927 na stanici Valašské Meziříčí (okres Vsetín). Pokud uvažujeme i stanice mimo standardní síť ČHMÚ, dosud nejnižší hodnota −35,8 °C byla zaznamenána ve dnech 27. prosince 1996 a 24. prosince 1921 na stanici Kvilda-Perla (okres Prachatice).

Průměrná měsíční teplota vzduchu v prosinci 2025

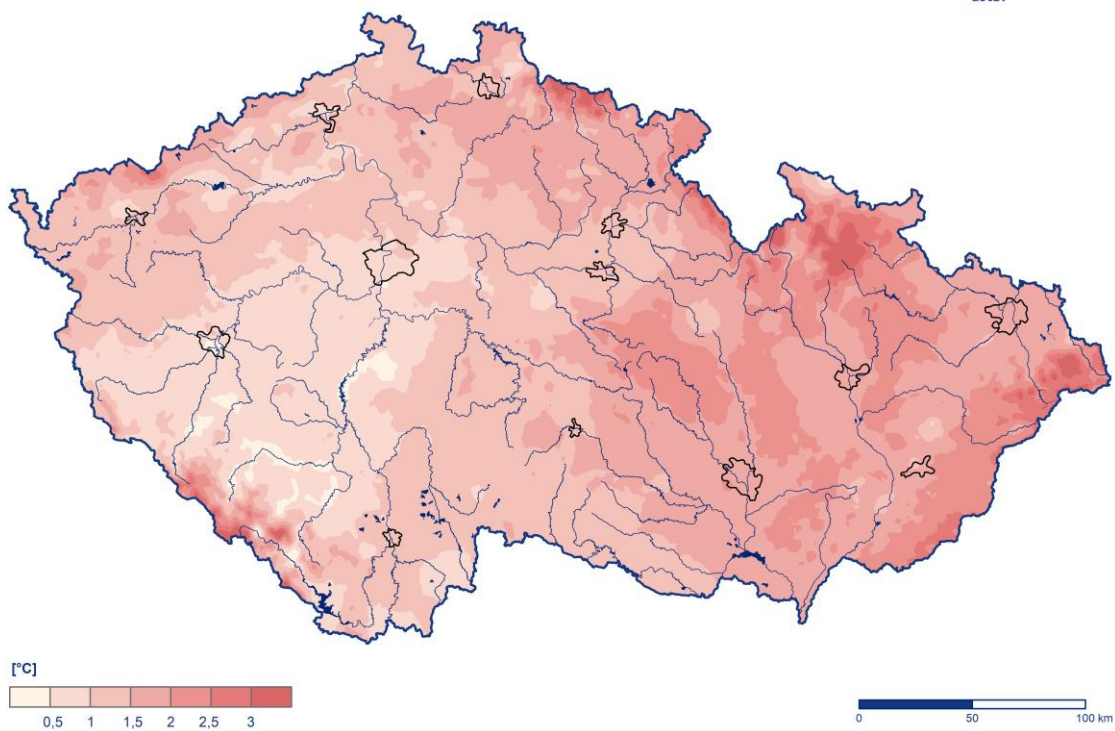
Český
hydrometeorologický
ústav



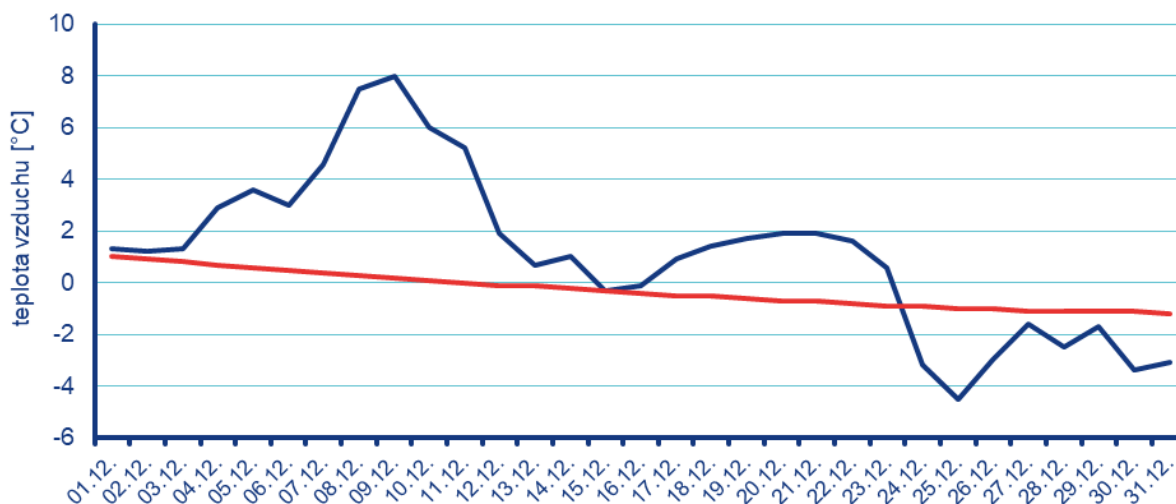
Obr. 2.1.1 Průměrná měsíční teplota vzduchu na území ČR v prosinci 2025

**Odchylka průměrné měsíční teploty vzduchu v prosinci 2025
od normálu 1991–2020**

Český
hydrometeorologický
ústav



Obr. 2.1.2 Odchylka průměrné měsíční teploty vzduchu od normálu 1991–2020 na území ČR v prosinci 2025



Obr. 2.1.3 Průběh průměrné denní teploty vzduchu na území ČR v prosinci 2025 ve srovnání s normálem 1991–2020

2.2 Srážky

Srážkově měsíc prosinec hodnotíme jako silně podnormální. V průměru na našem území spadlo 17 mm srážek, což představuje 37 % normálu 1991–2020 (Obr. 2.2.1, Obr. 2.2.2).

Průměrný srážkový úhrn na území Čech byl 17 mm (35 % normálu) a na území Moravy a Slezska 17 mm (40 % normálu). Nejvíce srážek v porovnání s normálem spadlo v krajích Jihomoravském (61 % normálu), Vysočina (49 % normálu) a Libereckém (48 % normálu), naopak nejméně v krajích Zlínském (21 % normálu), Plzeňském (22 % normálu) a Moravskoslezském (26 % normálu).

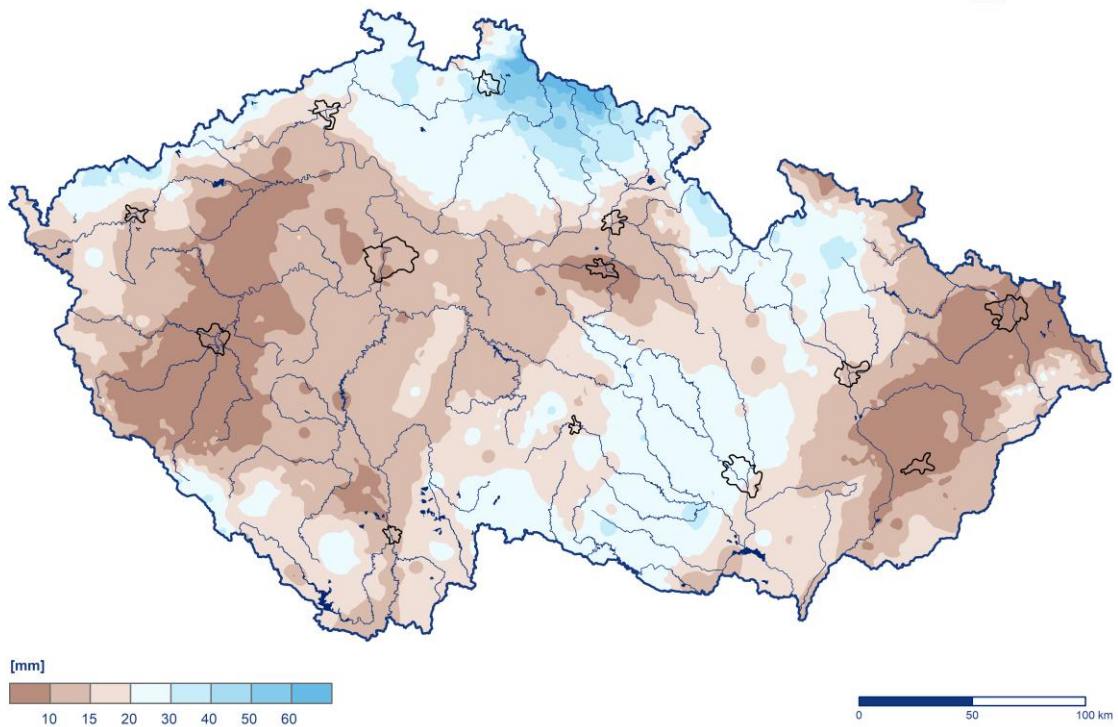
Měsíční srážkové úhrny se pohybovaly na našem území v širokém rozpětí. Zatímco některé stanice zaznamenaly za celý měsíc méně než 10 mm srážek, na jiných stanicích zejména v horských oblastech to bylo přes 50 mm srážek. Na stanicích Labská bouda, Pec pod Sněžkou a Bílý Potok, Smědava spadlo více než 70 mm srážek.

Výraznější srážky se na našem území vyskytovaly pouze v několika dnech, a to především v období 4. – 8. a 29. – 31. prosince. Z počátku měsíce se jednalo o srážky dešťové a ve dnech 29. – 31. prosince byl na velké části našeho území zaznamenán nový sníh. Ve vyšších polohách, nejvíce na jihu Čech, byl nový sníh naměřen i ve dnech 23. a 24. prosince.

Nejvyšší denní úhrn srážek v tomto měsíci (27,4 mm) zaznamenala 8. prosince stanice Dvoračky (okres Semily). Nejvyšší celková výška sněhové pokrývky (40 cm) byla naměřena 1. prosince na stanici Lysá hora.

Měsíční úhrn srážek v prosinci 2025

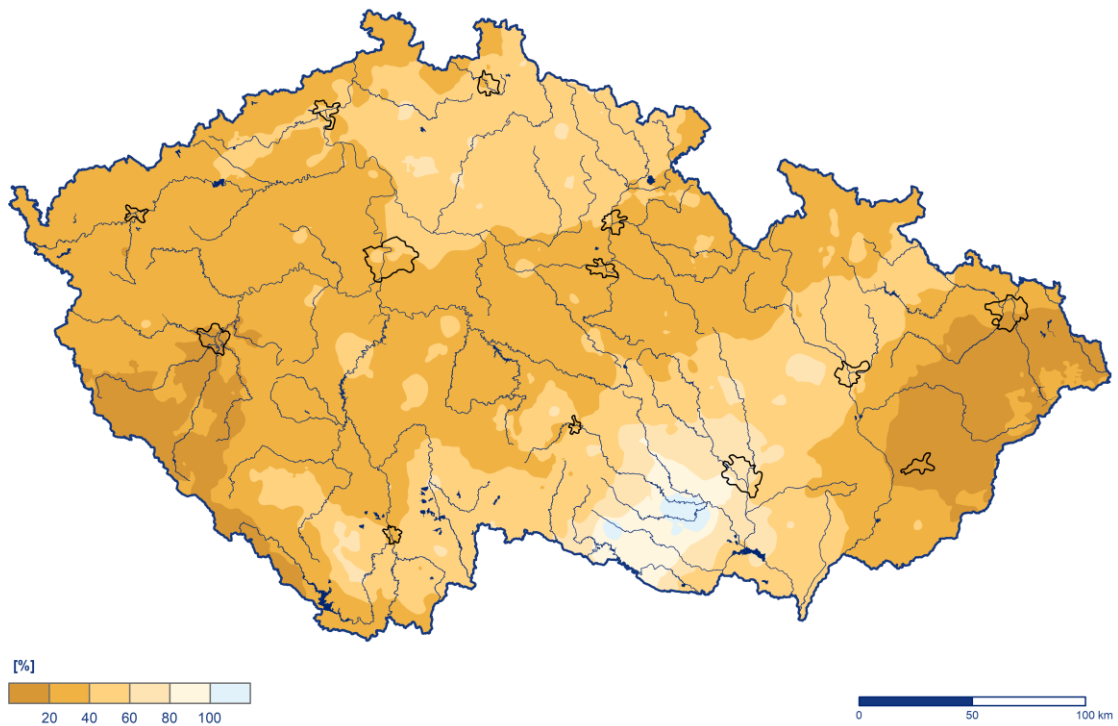
Český
hydrometeorologický
ústav



Obr. 2.2.1 Měsíční úhrn srážek na území ČR v prosinci 2025

Měsíční úhrn srážek v prosinci 2025 v procentech normálu 1991–2020

Český
hydrometeorologický
ústav



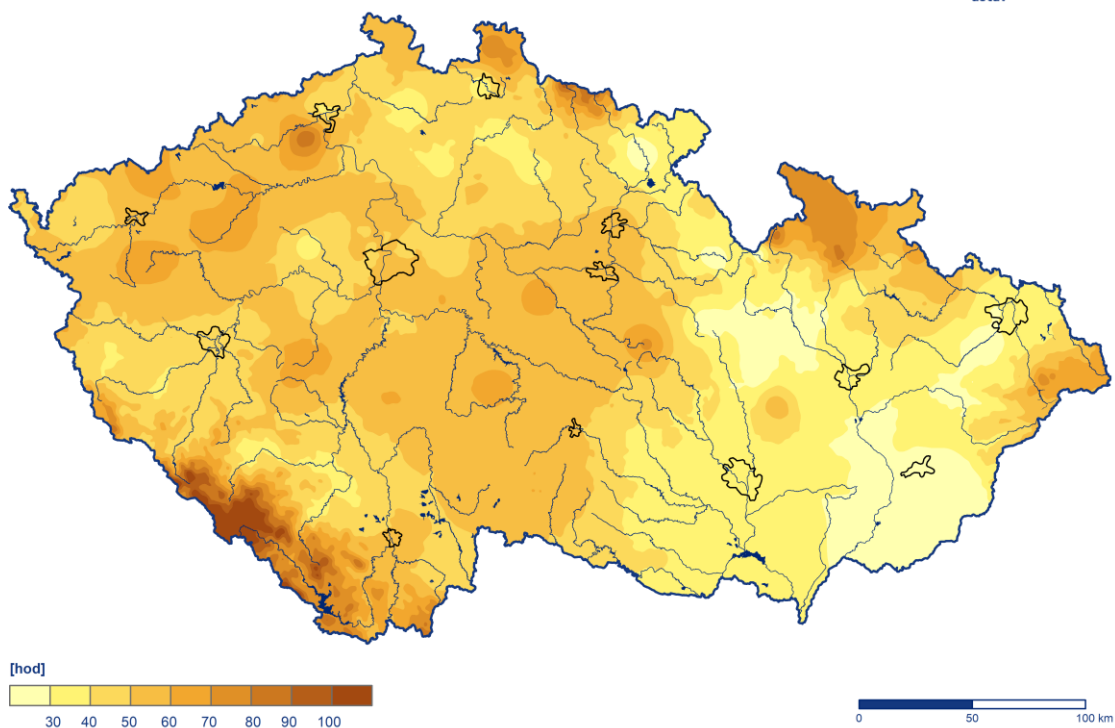
Obr. 2.2.2 Měsíční úhrn srážek na území ČR v prosinci 2025 v procentech normálu 1991–2020

2.3 Sluneční svit

Průměrná délka slunečního svitu na území ČR byla tento měsíc 48,1 hodiny, což činí 119 % normálu 1991–2020 (Obr. 2.3.1). Nejvíce hodin slunečního svitu bylo v krajích Jihočeském (56,4 h), Ústeckém (56,1 h) a Karlovarském (55,1 h). Naopak nejméně hodin slunečního svitu bylo v krajích Zlínském (30,7 h), Jihomoravském (35,1 h) a Olomouckém (41,2 h).

Doba trvání slunečního svitu v prosinci 2025

Český
hydrometeorologický
ústav



Obr. 2.3.1 Měsíční úhrn doby trvání slunečního svitu na území ČR v prosinci 2025

3 HYDROLOGICKÁ SITUACE

3.1 Povrchové vody

Odtokové poměry

Z odtokového hlediska byl prosinec ve většině povodí převážně podprůměrným měsícem. Nejvíce vody oteklo Olší (86 % Q_{XII}), Dyjí (82 % Q_{XII}), Odrou (81 % Q_{XII}) a o něco méně Moravou (78 % Q_{XII}). Výrazně podprůměrné hodnoty vykazovaly Labe (55 % Q_{XII}) a Vltava (44 % Q_{XII}). Celkově byly průměrné prosincové průtoky nejčastěji v rozmezí od 35 do 100 % Q_{XII} (Tab. 3.1.1, Obr. 3.1.1, Obr. 3.1.2).

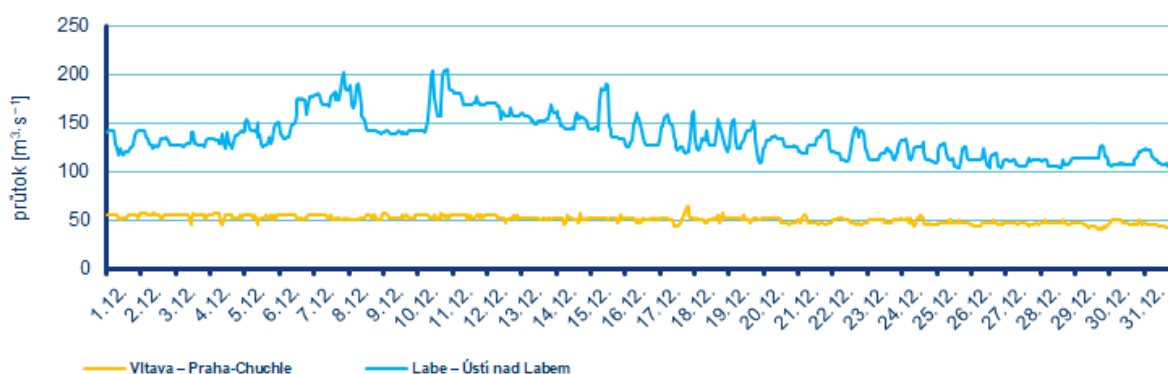
Tab. 3.1.1 Průměrné měsíční průtoky v závěrových profilech hlavních povodí, prosinec 2025

Tok	Profil	Q_m [%]	Q [$m^3 \cdot s^{-1}$]
Vltava	Praha-Chuchle	44	51
Labe	Ústí nad Labem	55	140
Odra	Bohumín	81	23
Olše	Věřňovice	86	10
Morava	Strážnice	78	34
Dyje	Břeclav-Ladná	82	22

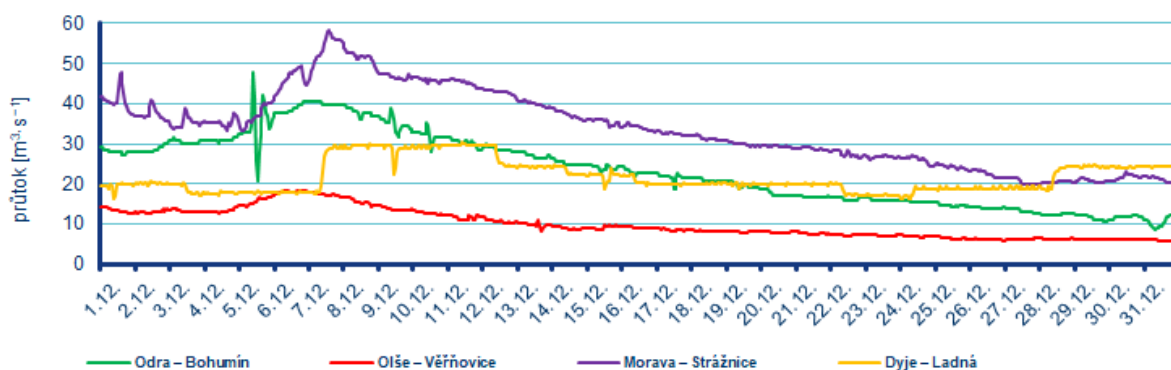
V porovnání s dlouhodobými prosincovými průměry se průtoky v první polovině prosince pohybovaly v širokém rozmezí od mimořádně podprůměrných až po nadprůměrné, od 40 do 140 % Q_{XII} . Od začátku druhé poloviny měsíce se průtoky postupně snižovaly, dosahovaly stále mimořádně podprůměrných až průměrných hodnot v rozmezí 30 až 90 % Q_{XII} . Ke konci prosince zůstaly průtoky mimořádně podprůměrné až podprůměrné s mírným snížením hodnot na horní hranici (30 až 80 % Q_{XII}), (Tab. 3.1.2).

V průběhu měsíce se postupně snižovaly také vodnosti na tocích. Celkově se vodnosti za začátku měsíce udržovaly na úrovni $Q_{270-90d}$, na konci měsíce dosahovaly nižších hodnot $Q_{300-150d}$.

Odtok z Vltavské kaskády ve Vraném nad Vltavou se v první polovině prosince pohyboval na 40 m^3/s , ale dne 16. 12. došlo k manipulaci a následnému poklesu na 35 m^3/s a tento odtok se udržoval až do konce měsíce.



Obr. 3.1.1 Průběh průtoků v závěrových profilech Vltavy a Labe, prosinec 2025



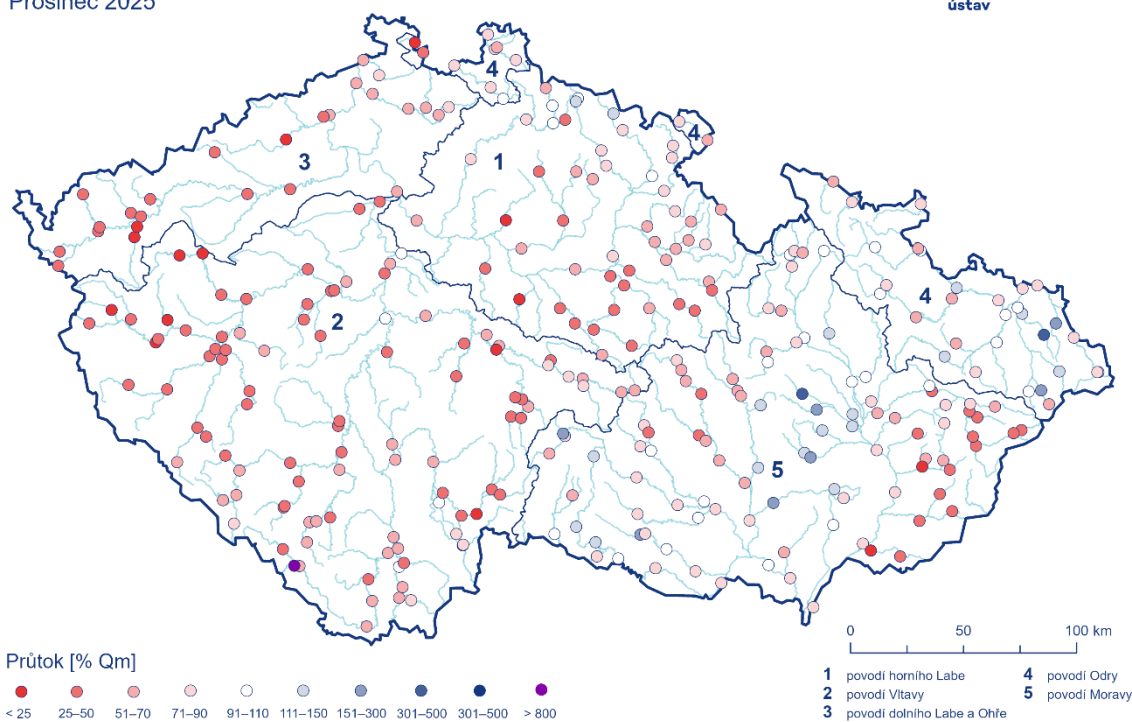
Obr. 3.1.2 Průběh průtoků v závěrových profilech Odry, Olše, Moravy a Dyje, prosinec 2025

Hladiny většiny sledovaných toků byly v průběhu měsíce převážně setrvalé nebo slabě rozkolísané, s celkově mírně klesající tendencí. Od poloviny třetí prosincové dekády byly zejména menší horské toky ovlivňovány ledovými jevy. Celkově nejvyšší hladiny dosahovaly toky v prosinci před koncem první dekády, poté byly převážně na mírných poklesech až do konce měsíce. Během prosince se nevyskytovaly žádné SPA.

Průměrné měsíční průtoky

Prosinec 2025

Český
hydrometeorologický
ústav



Obr. 3.1.3 Průměrné měsíční průtoky na území ČR, prosinec 2025

Tab. 3.1.2 Přehled průměrných, max. a min. průtoků (stavů), prosinec 2025

Tok	Profil	\bar{Q}	Q_m	Q_m	min. H	min. Q	max. H	max. Q	DD min.	DD max.	LJ
		$m^3 \cdot s^{-1}$	$m^3 \cdot s^{-1}$	%	cm	$m^3 \cdot s^{-1}$	cm	$m^3 \cdot s^{-1}$	-	-	
Orlice	Týniště nad Orlicí	10,0	16,0	65	61	5,90	106	16,0	26	6	
Labe	Přelouč	33,0	48,0	68	31	13,0	92	55,0	28	8	
Cidlina	Sány	2,30	3,90	58	27	1,20	62	4,80	27	7	
Jizera	Bakov nad Jizerou	16,0	22,0	73	122	4,90	239	37,0	26	9	
Labe	Kostelec nad Labem	52,0	83,0	62	0	8,90	415	84,0	1	12	
Vltava	Vyšší Brod	6,50	12,0	54	57	5,80	78	11,0	2	3	
Malše	Roudné	2,60	4,20	63	13	1,50	30	3,70	31	9	
Vltava	České Budějovice	12,0	21,0	56	98	3,00	112	18,1	1	11	
Lužnice	Bechyně	8,00	16,0	51	89	3,90	120	13,0	19	11	
Otava	Písek	9,40	20,0	48	25	2,20	98	25,0	29	9	
Sázava	Nespeky	7,50	14,0	54	36	2,40	79	15,0	27	7	
Berounka	Pízeň-Bílá Hora	7,20	20,0	37	92	5,20	108	9,70	29	2	1
Berounka	Beroun	11,0	36,0	32	69	5,20	106	18,0	27	10	
Vltava	Praha-Chuchle	51,0	120	44	42	40,0	53	66,0	29	17	
Ohře	Karlovy Vary	11,0	31,0	36	39	6,10	61	17,0	31	9	
Ohře	Louny	14,0	37,0	38	177	12,0	188	17,0	22	1	
Labe	Ústí nad Labem	140	250	55	145	100	207	210	25	10	
Bílina	Trmice	1,80	5,80	30	88	1,30	107	3,70	27	10	
Ploučnice	Benešov nad Ploučnicí	6,20	8,90	69	83	3,40	97	11,0	26	6	
Labe	Děčín	140	260	53	109	110	170	200	28	11	
Odra	Svinov	9,30	9,70	96	106	2,40	155	20,0	31	7	
Opava	Děhylov	6,30	8,80	71	72	2,10	107	12,0	31	6	1
Ostravice	Ostrava	8,30	8,20	101	62	3,60	98	14,0	31	5	
Odra	Bohumín	23,0	29,0	81	149	8,70	210	50,0	31	5	
Olše	Věřňovice	10,0	12,0	86	68	5,80	104	19,0	26	6	
Morava	Olomouc	18,0	20,0	92	95	9,30	151	32,0	27	6	1
Bečva	Dluhonice	7,80	14,0	57	109	2,40	141	15,0	24	1	
Morava	Strážnice	34,0	44,0	78	112	20,0	196	58,0	27	7	
Svratka	Židlochovice	9,60	11,0	85	53	5,40	118	29,0	27	6	
Jihlava	Ivančice	5,10	6,60	77	98	1,60	133	9,50	27	6	1
Dyje	Ladná	22,0	27,0	82	23	16,0	51	31,0	1	11	

Pozn.: \bar{Q} ...Průměrný průtok, Q_m ...Dlouhodobý průměrný průtok příslušného měsíce, % Q_m ...Procenta měsíčního průměru, H...Stav, Q...Průtok, DD...Den v měsíci, SPA...Stupeň povodňové aktivity, ()...Odborný odhad, LJ...Ledový jev

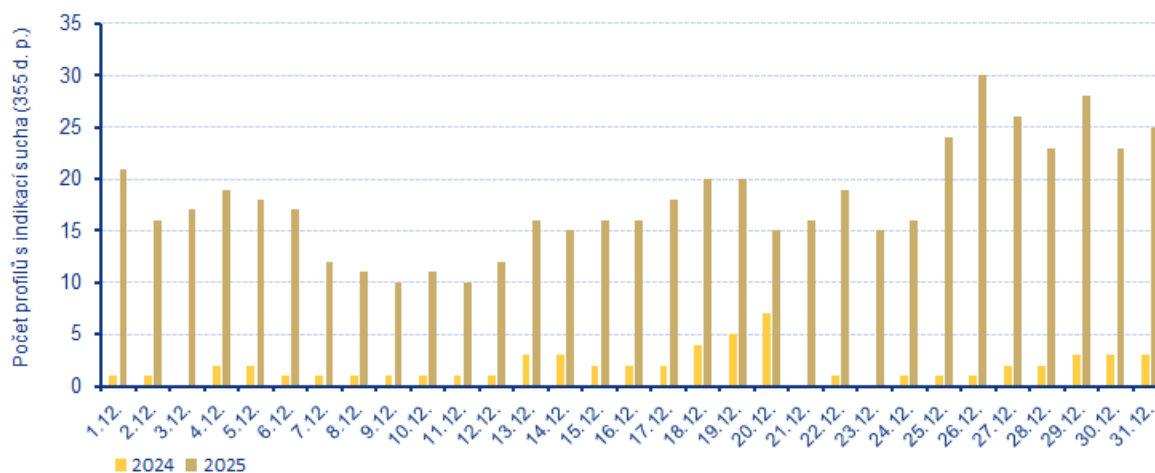
Sucho na území ČR

Hlásné profily (kategorie A + B) s průtoky menšími než 25 % Q_{XII} se v první a druhé dekádě měsíce vyskytovaly nejvíce v povodí Vltavy, naopak nebyl zaznamenán žádný výskyt suchých profilů v povodí Dyje. Od začátku třetí dekády začal počet suchých profilů (průtoky menší než 25 % Q_m) narůstat a ke konci měsíce byl jejich počet dvojnásobný oproti začátku měsíce. (**Chyba! Chybný odkaz na záložku.**) d

Tab. 3.1.3 Procentuální vývoj počtu hlásných profilů (kategorie A + B) v průběhu prosince v hlavních povodích s průměrnými týdenními průtoky menšími než 25 % Q_{XII}

Povodí	Q < 25 % Q_m			
	T49 (1. – 7. 12.)	T50 (8. – 14. 12.)	T51 (15. – 21. 12.)	T52 (22. – 28. 12.)
Horní Labe	3,9	3,9	3,9	3,9
Vltava	2	2	5	5
Dolní Labe a Ohře	11,5	7,7	7,7	7,7
Odra	0	2,3	4,7	9,3
Morava po Dyji	1,9	3,8	5,7	17
Dyje	0	0	0	0
Celkem	4	3,4	5,3	8,4

Počet operativních hydrologických profilů s indikací hydrologického sucha (Q_{355d}) se v průběhu měsíce pohyboval většinou od 10 do 30, přičemž vyšší průměrný počet byl v druhé polovině měsíce (Obr. 3.1.44). V porovnání s loňským hydrologickým suchem byl prosinec výrazně sušším měsícem v průběhu celého pozorovaného období.



Obr. 3.1.4 Vývoj počtu operativních hydrologických profilů s indikací hydrologického sucha (Q_{355d}) v prosinci 2024 a 2025

Nádrže

U většiny sledovaných nádrží byly vodní hladiny během prosince setrvalé nebo vykazovaly jen velmi mírně rozkolísání hladin v důsledku manipulací. Celkové změny v zaplnění zásobních prostorů se pohybovaly nejčastěji mezi -6 až $+6$ %. Větší pokles byl zaznamenán pouze na VD Morávka (-17 %), naopak větší vzestupy zaznamenaly VD Skalka ($+10$ %), VD Jesenice ($+9$ %) a VD Kružberk ($+10$ %). Většina nádrží byla na konci prosince naplněna minimálně z 60 %. Menší naplnění měly vodní nádrže Seč (58 %), Hněvkovice (59 %), Orlík (27 %), Hracholusky (54 %), Žlutice (53 %) a Brněnská (46 %).

Zásoba vody v nádržích Vltavské kaskády nad dispečerským minimem se po celý měsíc postupně navyšovala z počátečních $65,42$ mil. m^3 (k 1. 12.) až na $133,63$ mil. m^3 (k 29. 12.).

Zásoby vody ve sněhové pokrývce

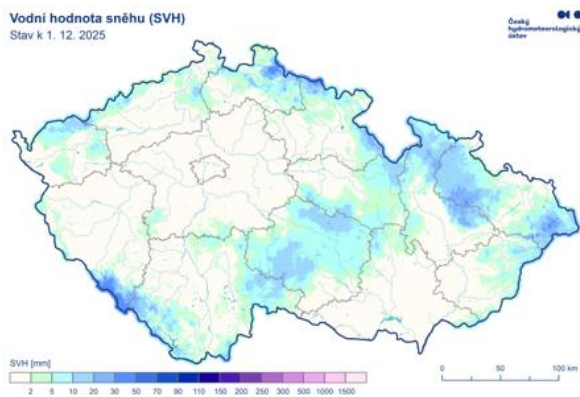
Odhad celkového množství vody ve sněhové pokrývce na území ČR k 1. 12. 2025 činil ca $0,276$ mld. m^3 , což představuje v průměru ca $3,5$ mm ($3,5$ litrů na jeden metr čtvereční). Vzhledem k absenci sněhových srážek docházelo v následujícím týdnu k úbytku sněhové pokrývky a zásoby vody ve sněhové pokrývce se snížily na ca $0,034$ mld. m^3 (ca $0,4$ mm, $0,4$ litru na jeden metr čtvereční) a v období od 15. 12. zásoby sněhu téměř vymizely. Situace se změnila ve třetí dekádě prosince, kdy začal na naše území proudit chladnější vzduch a srážky se začaly měnit ve sněhové. Zásoby vody ve sněhové pokrývce lehce narostly na $0,047$ mld. m^3 (ca $0,6$ mm, $0,6$ litru na jeden metr čtvereční), (Tab. 3.1.44, **Chyba! Nenalezen zdroj odkazů.**5).

Tab. 3.1.4 Zásoba vody ve sněhové pokrývce, prosinec 2025

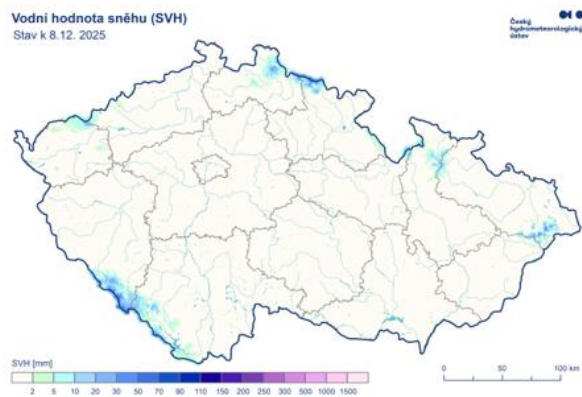
	1. 12.	8. 12.	15. 12.	22. 12.	29. 12.
Objem [mld. m^3]	0,276	0,034	–	–	0,047
Odtoková výška [mm]	3,5	0,4	–	–	0,6

Pozn. – - vzhledem k velmi omezenému výskytu sněhové pokrývky nebyl vypočítán odhad celkového množství vody ve sněhu a zásoba sněhu je minimální

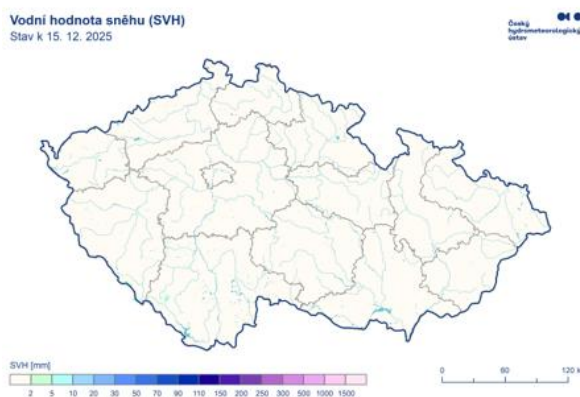
Vodní hodnota sněhu (SVH)
Stav k 1. 12. 2025



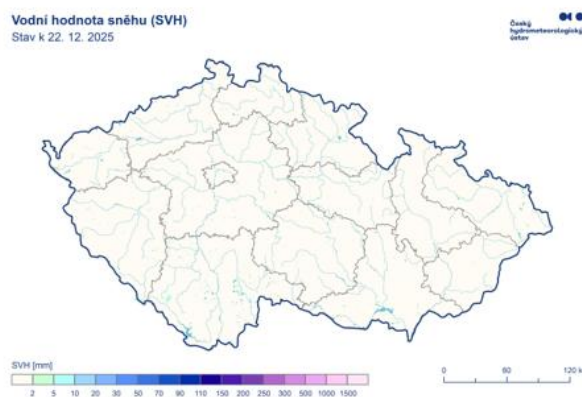
Vodní hodnota sněhu (SVH)
Stav k 8. 12. 2025



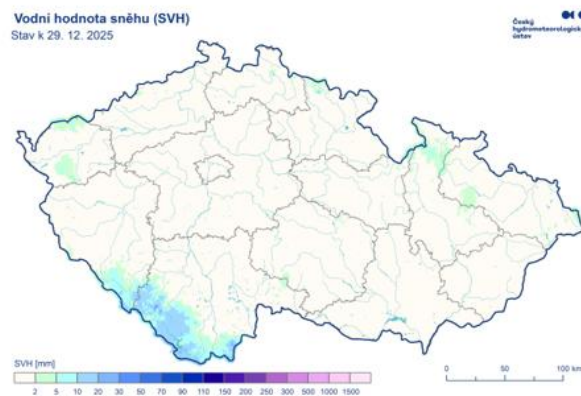
Vodní hodnota sněhu (SVH)
Stav k 15. 12. 2025



Vodní hodnota sněhu (SVH)
Stav k 22. 12. 2025



Vodní hodnota sněhu (SVH)
Stav k 29. 12. 2025



Chyba! Nenalezen zdroj odkazů. 5 Přehled rozložení vodní hodnoty sněhu (SVH) na území ČR, prosinec 2025

3.2 Podzemní vody

Mělké vrty


Hladina podzemní vody v mělkých vrtech byla v prosinci na území ČR celkově normální (Tab. 3.2.1). Normální stav převládal na většině území, výrazněji se lišil stav v povodí Ohře a Dolního Labe, kde byla hladina silně podnormální. To se projevilo i ve skupinách povodí III. řádu silně podnormálním stavem v povodí horní Ohře a Ploučnice (Tab. 3.2.1, Obr. 3.2.1). Největší podíl mělkých vrtů se silně nebo mimořádně podnormální hladinou se vyskytoval v povodí Ohře a Dolního Labe (50 %) a Berounky (30 %). Naopak mělké vrty se silně nebo mimořádně nadnormální hladinou se vyskytovaly nejvíce v povodí Horní Odry (18 %) a Dolní Vltavy (12 %, Tab. 3.2.2).

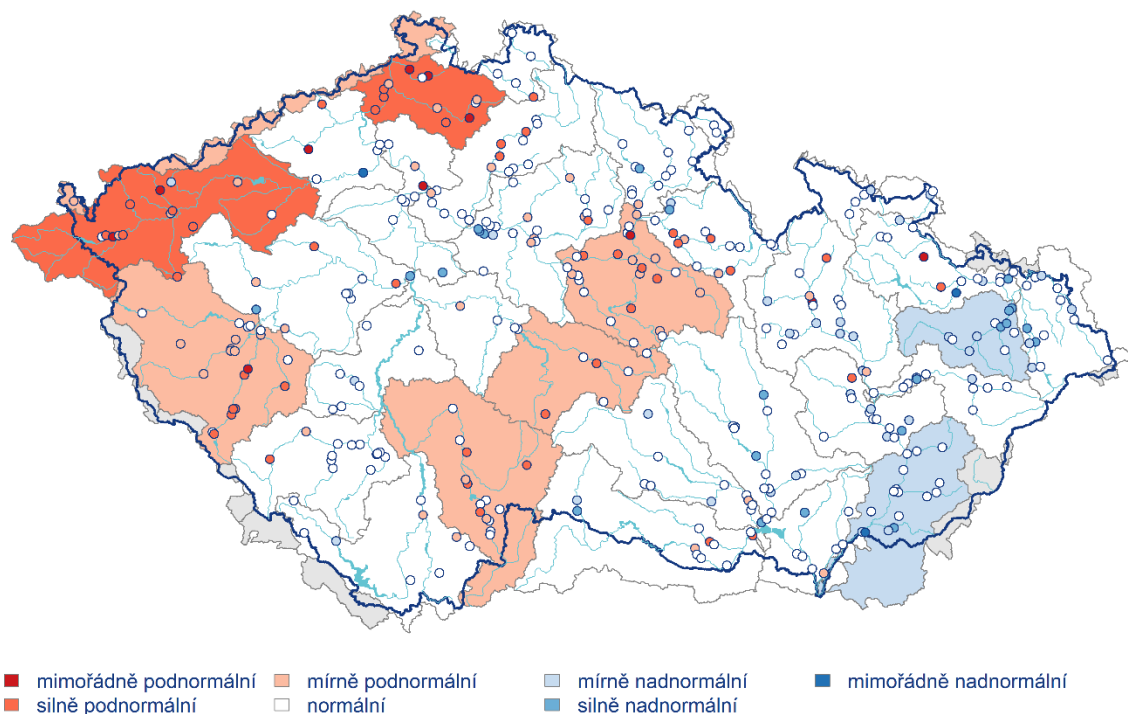
Ve srovnání s předchozím měsícem došlo k vzestupu hladiny v mezích normálu. Podíl vrtů s normální hladinou (56 %) se zmenšil, podíl vrtů se silně nebo mimořádně podnormální hladinou se mírně zvětšil (15 %, Tab. 3.2.2), podíl vrtů se silně nebo mimořádně nadnormální hladinou (7 %) se mírně zmenšil. Stagnace až mírný vzestup hladiny byl zaznamenána u 61 % mělkých vrtů. Stagnace až mírný pokles nastal u 30 % vrtů. Vzestup nebo velký vzestup hladiny byl zaznamenán u 5 % vrtů a pokles nebo velký pokles 6 % vrtů (Tab. 3.2.3). K výraznějšímu zhoršení stavu došlo v povodí Ohře a Dolního Labe, kde se stav zhoršil z normálního na silně podnormální. V povodí Lužické Nisy hladina meziměsíčně poklesla u 29 % vrtů, stav však zůstal normální. (Tab. 3.2.1).

Meziročně se stav hladiny v mělkých vrtech v prosinci zhoršil ze silně nadnormálního na normální (Tab. 3.2.1). Meziroční pokles nebo velký pokles hladiny byl zaznamenán u 62 % mělkých vrtů, zatímco vzestup nebo velký vzestup pouze u 5 % mělkých vrtů (Tab. 3.2.4). K výraznému meziročnímu zhoršení došlo zejména v povodí Horní Vltavy, Dolní Vltavy a Moravy, kde se stav změnil ze silně nadnormálního na normální a pokles nebo velký pokles hladiny zde byl zaznamenán u 45–86 % mělkých vrtů. (Tab. 3.2.1, Tab. 3.2.4).

Stav hladiny podzemní vody v mělkých vrtech

Prosinec 2025



Český
hydrometeorologický
ústav


Obr. 3.2.1 Stav hladiny podzemní vody v mělkých vrtech v prosinci 2025 ve skupinách povodí III. řádu, vztaženo k referenčnímu období 1991–2020

Tab. 3.2.1 Pravděpodobnost překročení úrovně hladiny v mělkých vrtech v dílčích povodích. KP – křivka překročení (%), HLS – Horní a střední Labe, HVL – Horní Vltava, BER – Berounka, DVL – Dolní Vltava, ODL – Ohře a Dolní Labe, HOD – Horní Odra, LNI – Lužická Nisa, MOR – Morava, DYJ – Dyje. Červená barevná škála odpovídá mimořádně, silně a mírně podnormálnímu stavu. Modrá barevná škála představuje mírně, silně, mimořádně nadnormální stav.

Povodí/ Zařazení úrovně hladiny na KP v %	HSL	HVL	BER	DVL	ODL	HOD	LNI	MOR	DYJ	ČR
XII 2025	68	64	79	55	90	29	67	31	42	60
XI 2025	53	57	64	50	73	24	30	31	48	48
XII 2024	15	10	29	14	39	32	44	13	15	15
<95,100>	<85,95>	<75,85>	(25,75)	(15,25>	(5,15>	<5,0>				

Tab. 3.2.2 Stav hladiny v mělkých vrtech v % počtu objektů

Povodí	Mimořádně podnormální hladina	Silně podnormální hladina	Mírně podnormální hladina	Normální hladina	Mírně nadnormální hladina	Silně nadnormální hladina	Mimořádně nadnormální hladina
Horní a střední Labe	1	15	19	57	2	6	0
Horní Vltava	0	12	12	71	5	0	0
Berounka	3	27	30	33	3	3	0
Dolní Vltava	0	12	6	71	0	12	0
Ohře a Dolní Labe	19	31	22	22	3	0	3
Horní Odra	2	2	0	53	24	16	2
Lužická Nisa	0	14	0	86	0	0	0
Morava	2	3	3	60	24	5	2
Dyje	0	5	7	66	11	11	0
ČR	3	12	12	56	10	6	1

Tab. 3.2.3 Porovnání hladiny v mělkých vrtech s předchozím měsícem v % počtu objektů

Povodí	Velký pokles	Pokles	Stagnace až mírný pokles	Stagnace až mírný vzestup	Vzestup	Velký vzestup
Horní a střední Labe	0	7	26	63	2	1
Horní Vltava	0	0	31	67	2	0
Berounka	0	0	41	59	0	0
Dolní Vltava	0	0	35	53	12	0
Ohře a Dolní Labe	0	6	56	36	3	0
Horní Odra	4	11	29	49	4	2
Lužická Nisa	0	29	57	14	0	0
Morava	2	3	26	64	5	0
Dyje	0	0	7	89	5	0
ČR	1	5	30	61	4	1

Tab. 3.2.4 Porovnání hladiny v mělkých vrtech se stejným měsícem předchozího roku v % počtu objektů

Povodí	Velký pokles	Pokles	Stagnace až mírný pokles	Stagnace až mírný vzestup	Vzestup	Velký vzestup
Horní a střední Labe	50	26	16	7	1	0
Horní Vltava	50	36	14	0	0	0
Berounka	33	37	20	10	0	0
Dolní Vltava	41	29	18	12	0	0
Ohře a Dolní Labe	47	22	25	6	0	0
Horní Odra	16	11	16	27	18	13
Lužická Nisa	0	57	29	14	0	0
Morava	17	28	34	14	5	2
Dyje	21	40	28	12	0	0
ČR	34	28	22	11	3	2

Prameny

Vydatnost pramenů byla v prosinci na území ČR celkově silně podnormální. Regionálně se však stav lišil – mimořádně podnormální stav byl zaznamenán v povodích Ohře a Dolního Labe, Horní Vltavy a Lužické Nisy, naopak v povodí Horní Odry byl stav mírně nadnormální (Tab. 3.2.5). Stav ve skupinách povodí III. řádu se také regionálně velmi lišil, mimořádně podnormální byl v povodí Otavy, střední Vltavy horní a dolní Ohře, Ploučnice a Stěnavy. Naopak v povodí Olše a Ostravice byl zaznamenán mimořádně nadnormální stav (Obr. 3.2.2). Největší podíl pramenů se silně nebo mimořádně podnormální vydatností byl v povodí Ohře a Dolního Labe (70 %), Horní Vltavy (48 %) a Berounky (48 %). Naopak silně nebo mimořádně nadnormální vydatnost se vyskytovala nejvíce v povodí Horní Odry (19 %) a Dyje (9 %, Tab. 3.2.6).

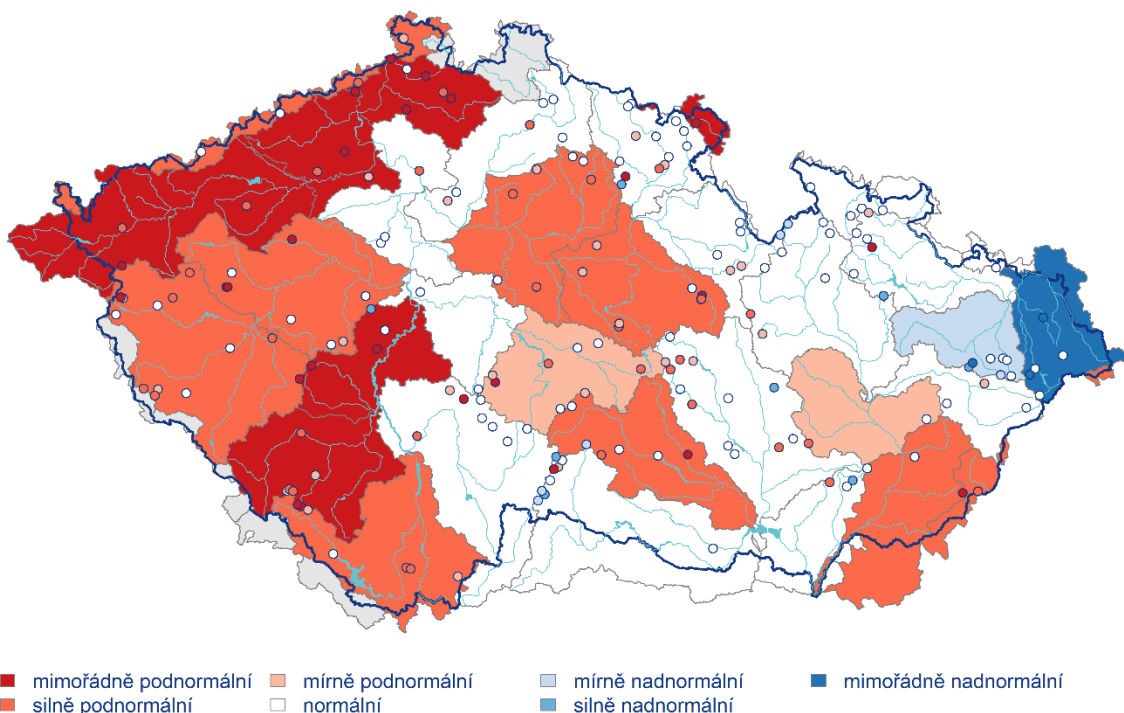
V porovnání s předchozím měsícem se vydatnost zmenšila a stav se celkově zhoršil z mírně podnormálního na silně podnormální. Podíl pramenů s normální vydatností (44 %) se téměř nezměnil. Podíl pramenů se silně nebo mimořádně podnormální vydatností (33 %) se zmenšil. Podíl pramenů se silně nebo mimořádně nadnormální vydatností (6 %, Tab. 3.2.6) se mírně zmenšil. Stagnace až mírné zmenšení vydatnosti nastalo u 45 % pramenů a stagnace až mírné zvětšení vydatnosti u 39 % pramenů. Zvětšení nebo velké zvětšení vydatnosti bylo zaznamenáno u 8 % pramenů a zmenšení nebo velké zmenšení vydatnosti také u 8 % pramenů (Tab. 3.2.7). Stav se oproti předcházejícímu měsíci měnil jen minimálně v povodí Horního a středního Labe a Dolní Vltavy se stav zhoršil z normálního na mírně podnormální, naopak v povodí Dyje došlo ke zlepšení stavu z mírně podnormálního na normální a vydatnost se zde oproti předchozímu měsíci zvětšila u 25 % pramenů (Tab. 3.2.5, Tab. 3.2.7).

Meziročně se stav vydatnosti v prosinci zhoršil z normálního na silně podnormální. Zmenšení nebo velké zmenšení vydatnosti bylo zaznamenáno u 55 % pramenů, zatímco zvětšení nebo velké zvětšení pouze u 3 % pramenů (Tab. 3.2.8). V některých povodí se stav zhoršil výrazně. V povodí Horní Vltavy se vydatnost zmenšila u 95 % pramenů a stav se zhoršil ze silně nadnormálního až na mimořádně podnormální. V povodí Berounky se stav zhoršil z normálního na silně podnormální. A v povodí Dolní Vltavy se vydatnost zmenšila ze silně nadnormální na mírně podnormální (Tab. 3.2.5, Tab. 3.2.8).

Stav vydatnosti pramenů

Prosinec 2025



Český
hydrometeorologický
ústav


Obr. 3.2.2 Stav vydatnosti pramenů v prosinec 2025 ve skupinách povodí III. řádu, vztaheno k referenčnímu období 1991–2020.

Tab. 3.2.5 Pravděpodobnost překročení úrovně vydatnosti pramenů v dílčích povodích. KP – křivka překročení (%), HLS – Horní a střední Labe, HVL – Horní Vltava, BER – Berounka, DVL – Dolní Vltava, ODL – Ohře a Dolní Labe, HOD – Horní Odra, LNI – Lužická Nisa, MOR – Morava, DYJ – Dyje. Červená barevná škála odpovídá mimořádně, silně a mírně podnormálnímu stavu. Modrá barevná škála představuje mírně, silně, mimořádně nadnormální stav.

Povodí/ Zařazení úrovně vydatnosti na KP v %	HSL	HVL	BER	DVL	ODL	HOD	LNI	MOR	DYJ	ČR
XI 2025	80	97	95	76	99	19	98	66	67	88
X 2025	64	95	91	70	100	19	99	54	77	81
XI 2024	32	10	36	13	97	14	65	24	36	30
<95,100>	<85,95)	<75,85)	(25,75)	(15,25>	(5,15>	<5,0>				

Tab. 3.2.6 Vydatnost pramenů v % počtu objektů

Povodí	Mimořádně podnormální vydatnost	Silně podnormální vydatnost	Mírně podnormální vydatnost	Normální vydatnost	Mírně nadnormální vydatnost	Silně nadnormální vydatnost	Mimořádně nadnormální vydatnost
Horní a střední Labe	5	20	22	49	2	2	0
Horní Vltava	19	29	19	29	0	5	0
Berounka	24	24	14	38	0	0	0
Dolní Vltava	13	13	7	60	0	7	0
Ohře a Dolní Labe	35	35	15	15	0	0	0
Horní Odra	5	0	5	68	5	5	14
Lužická Nisa	100	0	0	0	0	0	0
Morava	6	19	12	50	6	6	0
Dyje	6	19	12	44	9	9	0
ČR	13	20	14	44	3	4	2

Tab. 3.2.7 Porovnání vydatnosti pramenů s předchozím měsícem v % počtu objektů

Povodí	Velké zmenšení	Zmenšení	Stagnace až mírné zmenšení	Stagnace až mírné zvětšení	Zvětšení	Velké zvětšení
Horní a střední Labe	0	7	46	46	0	0
Horní Vltava	0	5	48	38	10	0
Berounka	0	0	62	38	0	0
Dolní Vltava	0	0	53	47	0	0
Ohře a Dolní Labe	0	0	85	10	5	0
Horní Odra	9	23	23	27	14	5
Lužická Nisa	0	0	0	100	0	0
Morava	6	12	38	44	0	0
Dyje	0	3	22	50	22	3
ČR	2	6	45	39	7	1

Tab. 3.2.8 Porovnání vydatnosti pramenů se stejným měsícem předchozího roku v % počtu objektů

Povodí	Velké zmenšení	Zmenšení	Stagnace až mírné zmenšení	Stagnace až mírné zvětšení	Zvětšení	Velké zvětšení
Horní a střední Labe	24	37	29	7	2	0
Horní Vltava	81	14	0	5	0	0
Berounka	33	19	48	0	0	0
Dolní Vltava	47	33	13	7	0	0
Ohře a Dolní Labe	20	25	35	20	0	0
Horní Odra	18	14	23	36	0	9
Lužická Nisa	100	0	0	0	0	0
Morava	19	12	44	25	0	0
Dyje	22	19	34	16	9	0
ČR	32	23	29	14	2	1

Hluboké vrty

Hladina podzemní vody v hlubokých vrtech² byla v prosinci mimořádně podnormální v části severočeské křídy (skupina hg rajonů 4B, 4C, 4D), permokarbonu středních a západních Čech (8A, 8B) a podkrušnohorských pánví (1B). Silně podnormální byla hladina v části jihočeských pánví (2A, 2D), cenomanu severočeské křídy (6A) a cenomanu východočeské křídy (7B, 7C). Mírně podnormální byla hladina v části východočeské křídy (5A) a permokarbonu východočeské křídy (9B). Mírně nadnormální byla hladina v části cenomanu východočeské křídy (7A). Silně nadnormální byla hladina v části moravského terciéru (3B). Silně a mimořádně nadnormální byla stále hladina v částech cenomanu severočeské křídy (6B a 6C), které mají výrazně víceletý režim. V ostatních skupinách hg rajonů byla hladina normální (Obr. 3.2.3).

Oproti minulému měsíci se zlepšil stav části permokarbonu východočeské křídy (9B). Zhoršil se naopak stav části podkrušnohorských pánví (1B) a cenomanu severočeské křídy (6A). Výrazně se snížil podíl objektů s mírně podnormální hladinou (9 %). Zvýšil se naopak podíl objektů se silně podnormální (17 %) a normální (44 %) hladinou. Změny v ostatních kategoriích byly nevýznamné (Tab. 3.2.9).

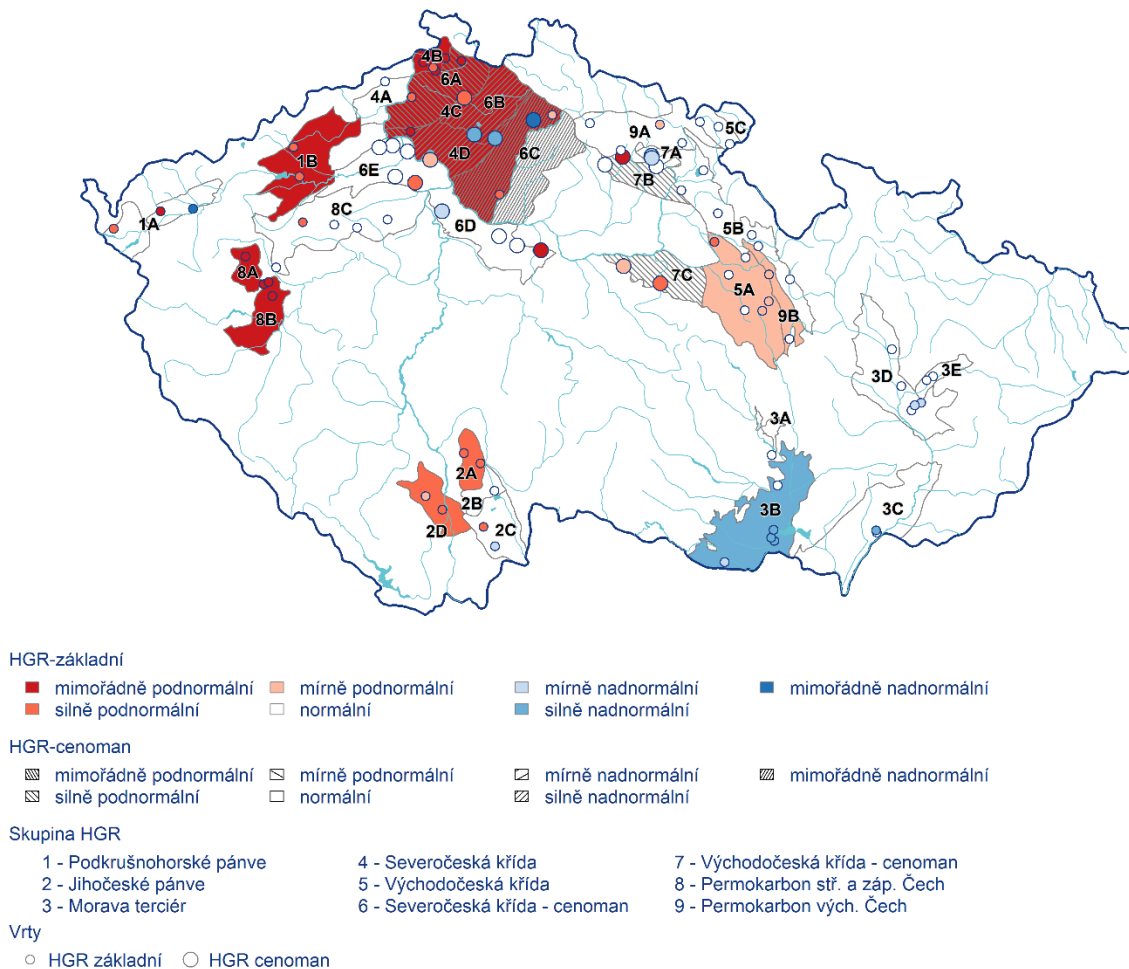
K poklesu nebo velkému poklesu hladiny nedošlo u žádného objektu. Stagnaci až mírný pokles hladiny zaznamenalo 44 % objektů. Také vzestup nebo velký vzestup hladiny nezaznamenal žádný objekt (Tab. 3.2.10).

V meziročním porovnání se stejným měsícem minulého roku se zhoršil stav hladiny v celé ČR (kromě dlouhodobě mimořádně podnormálního stavu v permokarbonu středních a západních Čech). Pokles nebo velký pokles hladiny zaznamenalo 54 % objektů, naopak vzestup nebo velký vzestup hladiny zaznamenala pouze 2 % objektů (Tab. 3.2.11).

² Při interpretaci výsledků je třeba brát v úvahu, že hodnocení hlubokých zvodní je prováděno na menším počtu objektů a často na kratších pozorovaných řadách, než vyhodnocování mělkých vrtů a pramenů. Většina hlubokých vrtů má sice pozorování od roku 1991, část z nich však jen od roku 2008.

Stav hladiny podzemní vody v hlubokých vrtech

Prosinec 2025

Český
hydrometeorologický
ústav

Obr. 3.2.3 Stav hladiny podzemní vody v hlubokých vrtech v prosinci 2025, vztaženo k referenčnímu období 1991–2020

Tab. 3.2.9 Stav hladiny v hlubokých vrtech v % počtu objektů

Povodí	Mimořádně podnormální hladina	Silně podnormální hladina	Mírně podnormální hladina	Normální hladina	Mírně nadnormální hladina	Silně nadnormální hladina	Mimořádně nadnormální hladina
ČR	13	17	9	44	8	7	2

Tab. 3.2.10 Porovnání hladiny v hlubokých vrtech s předchozím měsícem v % počtu objektů

Povodí	Velký pokles	Pokles	Stagnace až mírný pokles	Stagnace až mírný vzestup	Vzestup	Velký vzestup
ČR	0	0	44	56	0	0

Tab. 3.2.11 Porovnání hladiny v hlubokých vrtech se stejným měsícem předchozího roku v % počtu objektů

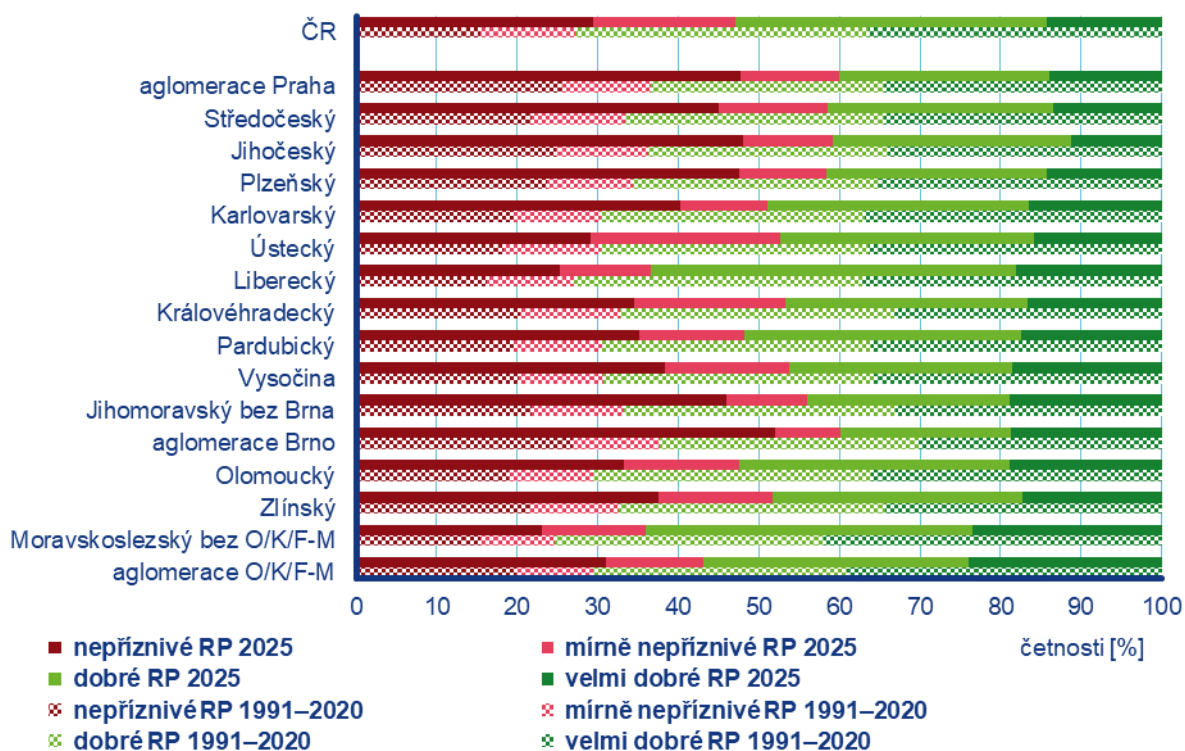
Povodí	Velký pokles	Pokles	Stagnace až mírný pokles	Stagnace až mírný vzestup	Vzestup	Velký vzestup
ČR	18	36	39	6	1	1

4 KVALITA OVZDUŠÍ

4.1 Rozptylové podmínky

V porovnání s 30letým průměrem 1991–2020 byly v prosinci výrazně horší rozptylové podmínky (Obr. 4.1.1). Nejlepší prosincové rozptylové podmínky byly zaznamenány v roce 1993, naopak nejhorší v roce 2004. Velmi dobré rozptylové podmínky, vyjádřené pomocí ventilačního indexu³ pro celou ČR, byly zaznamenány ve čtyřech dnech, v porovnání s desetiletým průměrem se jedná o zhoršení o 22 %. Dobré rozptylové podmínky byly zaznamenány ve 13 dnech, mírně nepříznivé v pěti a nepříznivé ve devíti dnech.

Zhoršené rozptylové podmínky byly v prosinci zaznamenány v Libereckém kraji a v aglomeraci O/K/F-M⁴, v ostatních regionech byly rozptylové podmínky výrazně horší. Nejvíce velmi dobrých rozptylových podmínek (24 %) bylo zaznamenáno v aglomeraci O/K/F-M, nejméně (11 %) v Jihočeském kraji. Nejvíce nepříznivých rozptylových podmínek (52 %) bylo zaznamenáno v aglomeraci Brno, nejméně (23 %) v Moravskoslezském kraji bez aglomerace O/K/F-M.



Obr. 4.1.1 Skladba rozptylových podmínek v regionech České republiky, prosinec 2025

³ <https://www.chmi.cz/kvalita-ovzdusi/imise-informacni-system-hodnoceni-kvality-ovzdusi/podklady-pro-hodnoceni-ko-hodnoceni-ko-rozptylove-podminky>

⁴ Aglomerace Ostrava/Karviná/Frýdek-Místek.

4.2 Suspendované částice PM₁₀

Překročení 24hod. imisního limitu PM₁₀ od počátku roku

Hodnota 24hod. imisního limitu PM₁₀ je 50 µg·m⁻³. Legislativa připouští na měřicí stanici nejvíce 35 překročení hodnoty imisního limitu, při vyšším počtu je imisní limit považován za překročený.

Během prosince došlo k překročení hodnoty imisního limitu na 49 ze 121 stanic.

24hod. imisní limit PM₁₀ byl na konci prosince překročen na jedné stanici AIM, a to na pozad'ové venkovské stanici Lom (39×; Obr. 4.2.1).

Měsíční chod denních koncentrací PM₁₀

Průměrné 24hod. koncentrace PM₁₀ zprůměrované pro jednotlivé typy stanic nepřekračovaly během prosince (s výjimkou dopravních stanic) hodnotu imisního limitu (50 µg·m⁻³) ani doporučenou hodnotu WHO⁵ (45 µg·m⁻³; Obr. 4.2.2)⁶.

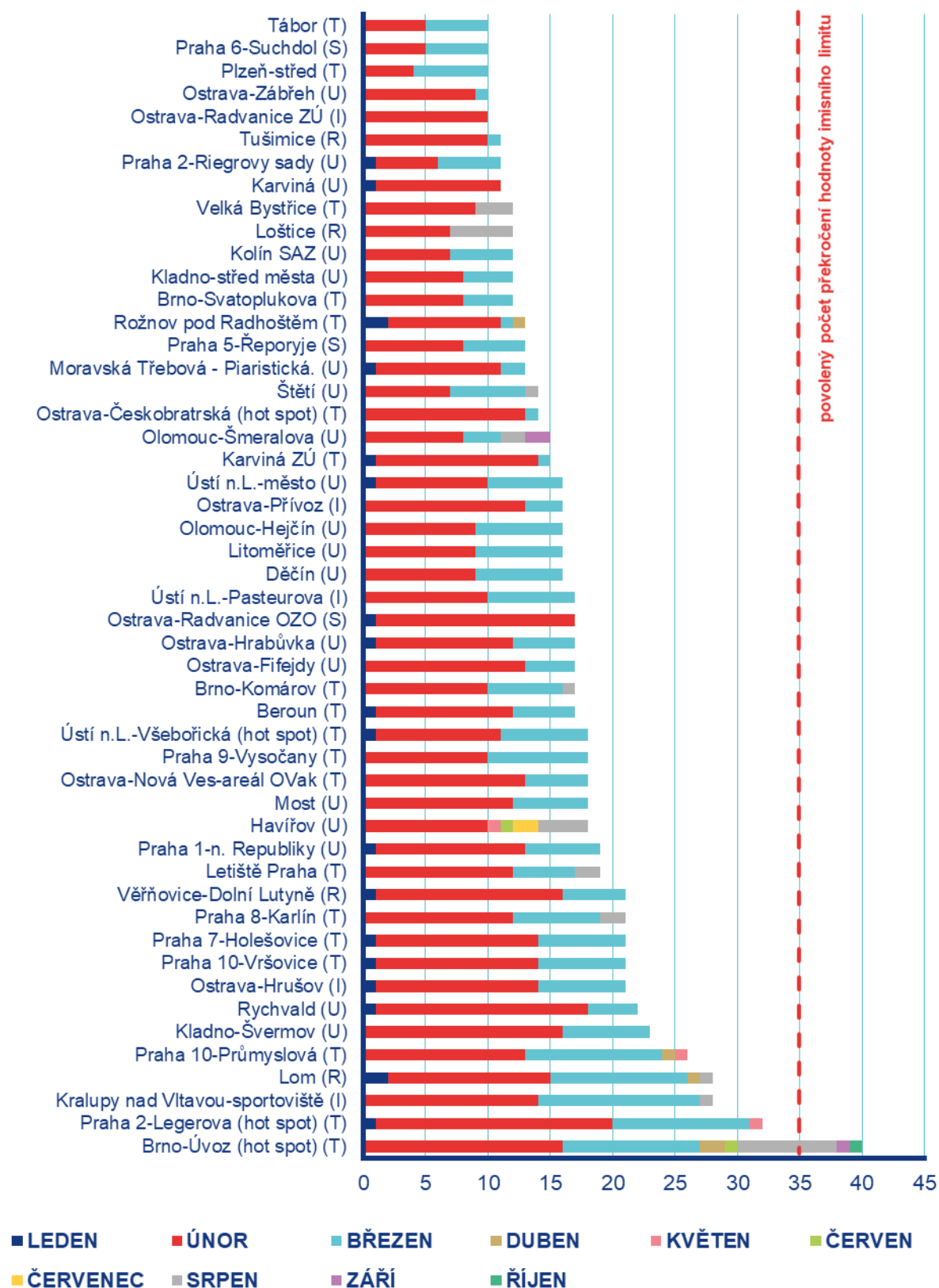
Vývoj denních koncentrací PM₁₀ má obdobný průběh jako denní koncentrace PM_{2,5}. Důvodem je podobná skladba emisních zdrojů obou látek a také významná závislost na meteorologických a rozptylových podmínkách.

Průměrné měsíční koncentrace PM₁₀

Celorepublikový měsíční průměr koncentrací PM₁₀ byl v prosinci nejnižší za období 2015–2025 (Obr. 4.2.3). V porovnání s desetiletým průměrem (2015–2024) byly průměrné koncentrace PM₁₀ o 17 % nižší.

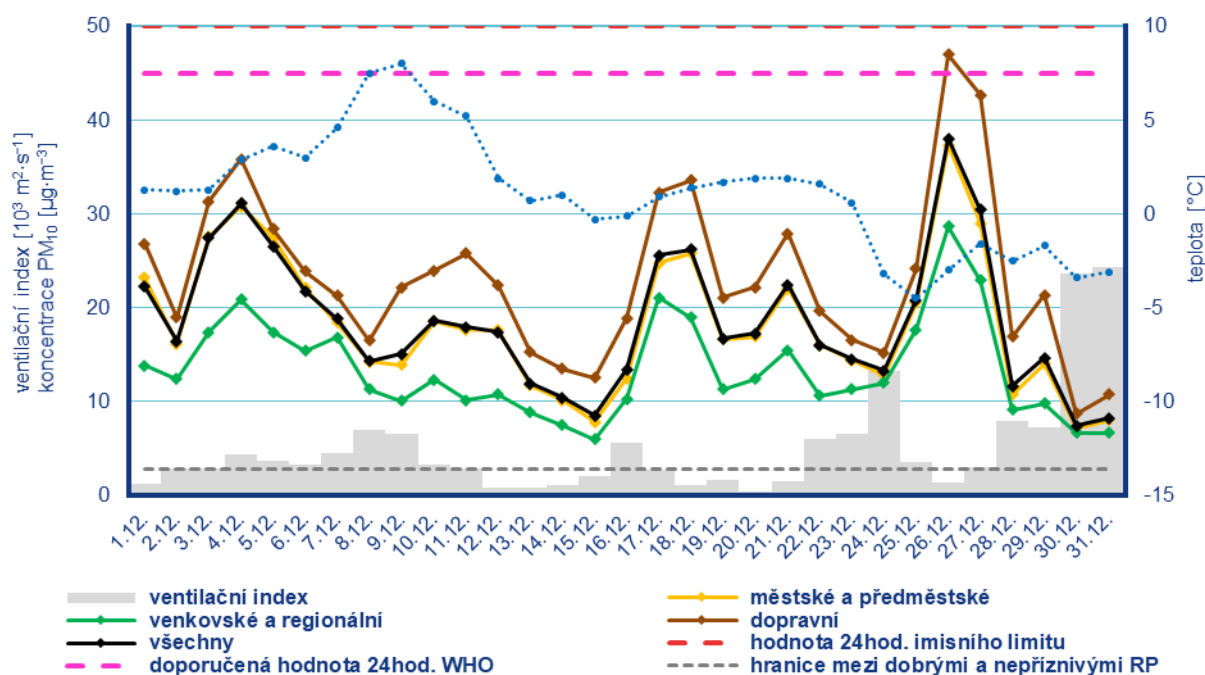
⁵ <https://iris.who.int/handle/10665/345329>

⁶ Průběh koncentrací je hodnocen pouze z meteorologického hlediska. Meteorologické a rozptylové podmínky jsou hlavním faktorem ovlivňujícím úroveň koncentrací. Mezi další faktory patří např. množství emisí či rozložení zdrojů emisí.



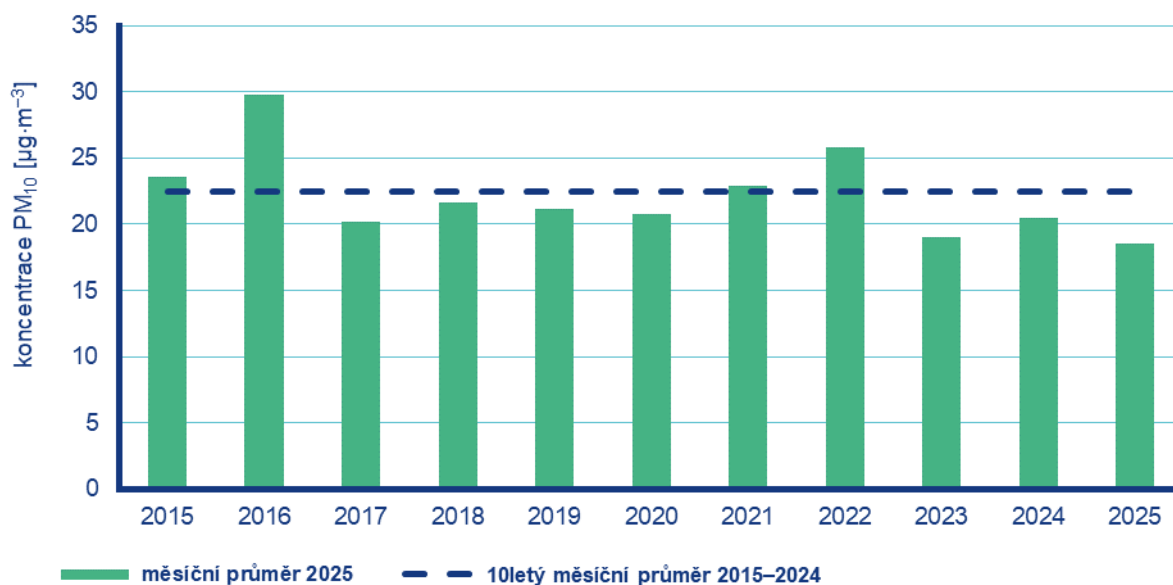
Poznámka: V grafu je uvedeno 50 nejhorších stanic bez ohledu na úplnost dat.

Obr. 4.2.1 Počet dnů, kdy průměrná denní koncentrace PM_{10} překročila hodnotu 24hod. imisního limitu ($50 \mu\text{g}\cdot\text{m}^{-3}$) na stanicích AIM, 2025



Poznámka: Průmyslové stanice jsou umístěny převážně v Moravskoslezském kraji; z tohoto důvodu nejsou průmyslové stanice uvedeny v grafu celorepublikových průměrů.

Obr. 4.2.2 Vývoj průměrných denních koncentrací PM_{10} , celorepublikového průměru teploty vzduchu a celorepublikového průměru ventilačního indexu (model ALADIN), prosinec 2025



Obr. 4.2.3 Průměrné měsíční koncentrace PM_{10} v České republice, prosinec 2015–2025

4.3 Suspendované částice PM_{2,5}

Vzhledem k závažnosti vlivu suspendovaných částic na lidské zdraví jsou v této zprávě hodnoceny i koncentrace suspendovaných částic PM_{2,5}. V české legislativě mají koncentrace suspendovaných částic PM_{2,5} definován pouze roční imisní limit (20 µg·m⁻³), proto jsou v této zprávě krátkodobé koncentrace porovnávány vzhledem k doporučené hodnotě WHO pro ochranu lidského zdraví (15 µg·m⁻³, průměrná 24hodinová koncentrace).⁷

Překročení 24hod. doporučené hodnoty WHO pro PM_{2,5}

Doporučená hodnota WHO (15 µg·m⁻³) byla v prosinci překročena na 83 z 86 stanic (Obr. 4.3.1). Překročení doporučené hodnoty je vyjádřeno procentem dní, kdy byla na dané stanici průměrná denní koncentrace PM_{2,5} vyšší než doporučená hodnota WHO.

Měsíční chod denních koncentrací PM_{2,5}

Průměrné denní koncentrace PM_{2,5} zprůměrované pro jednotlivé typy stanic v prosinci překračovaly doporučenou hodnotou WHO (Obr. 4.3.2)⁸.

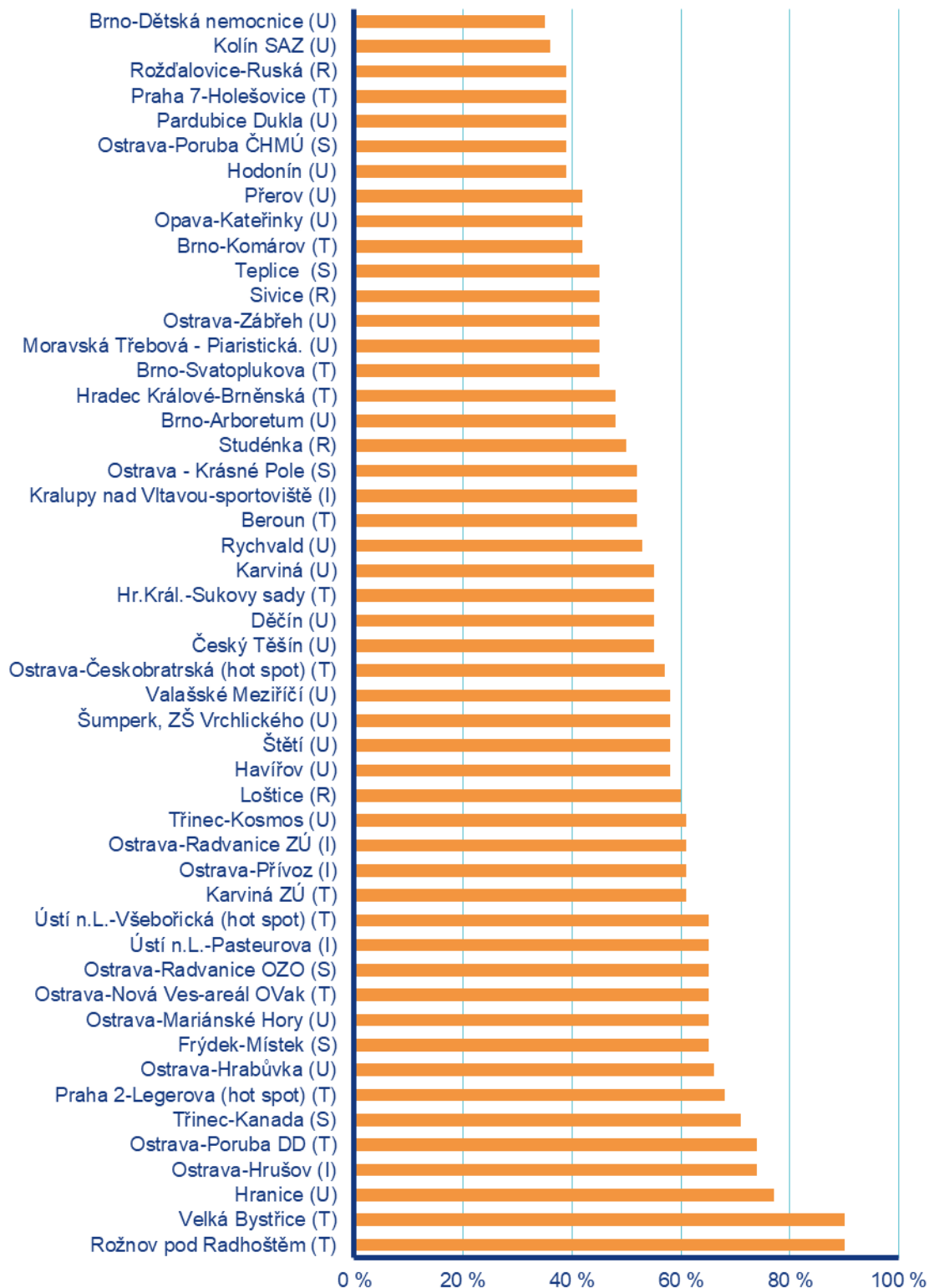
Většinu první dekády ovlivňoval počasí v ČR výběžek vysokého tlaku vzduchu, kolem které proudil do ČR teplý vzduch od jihu, ve kterém koncentrace vystoupaly nad doporučenou hodnotu WHO. V druhé polovině první dekády přecházela přes území ČR okluzní fronta, provázená srážkovou činností a zapříčinila pokles koncentrací. V polovině měsíce ovlivňovala počasí v ČR tlaková výše nad jihovýchodní Evropou a koncentrace v chladném a stabilním vzduchu opět vystoupaly nad doporučenou hodnotu. Po přechodu frontálního systému v první polovině třetí dekády, kdy ve vlhkém a instabilním vzduchu koncentrace dočasně poklesly pod doporučenou hodnotu, se do ČR rozšířil výběžek vysokého tlaku vzduchu a v suchém a stabilním počasí vystoupaly koncentrace až na dvojnásobek doporučené hodnoty. Závěr prosince doprovázela velká oblačnost, čerstvý vítr a občasné sněžení ve spojení s přechodem frontálního systému což zapříčinilo výrazný pokles koncentrací.

Průměrné měsíční koncentrace PM_{2,5}

Celorepublikový měsíční průměr koncentrací PM_{2,5} byl v prosinci nejnižší za období 2015–2025 (Obr. 4.3.3). V porovnání s desetiletým průměrem (2015–2024) byly průměrné koncentrace PM_{2,5} o 20 % nižší.

⁷ <https://iris.who.int/handle/10665/345329>

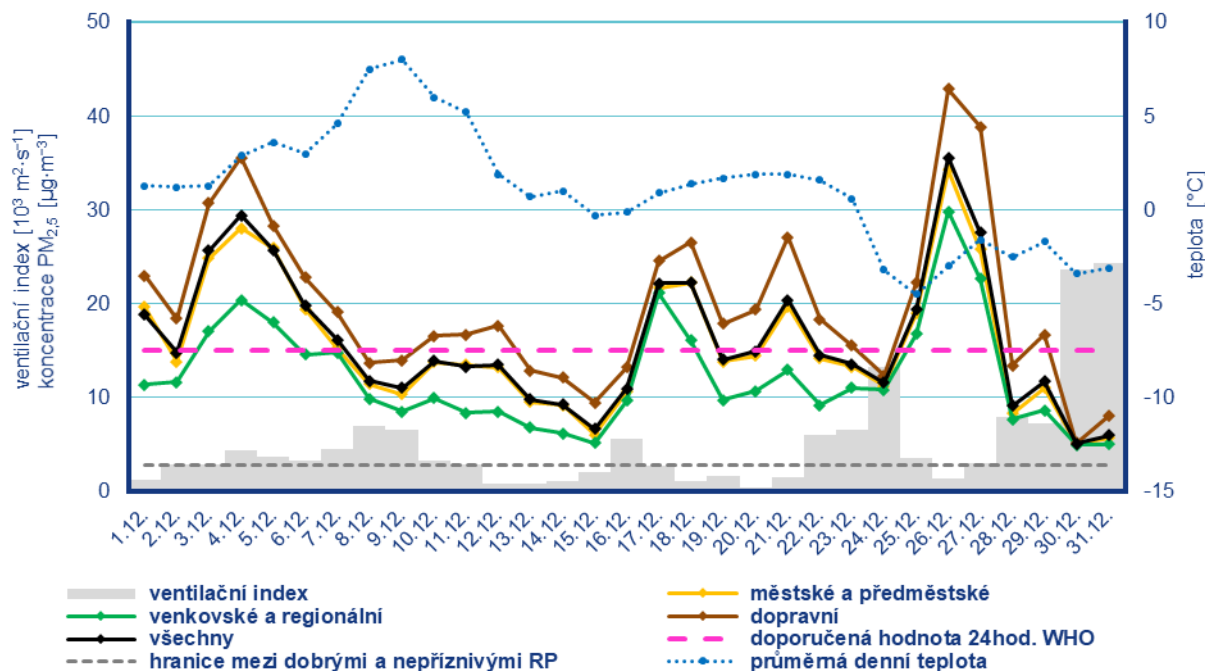
⁸ Průběh koncentrací je hodnocen pouze z meteorologického hlediska. Meteorologické a rozptylové podmínky jsou hlavním faktorem ovlivňujícím hodnoty koncentrací. Mezi další faktory patří např. množství emisí či rozložení zdrojů emisí.



■ procento překročení doporučené hodnoty WHO $15 \mu\text{g}\cdot\text{m}^{-3}$

Poznámka: V grafu je uvedeno 50 nejhorších stanic bez ohledu na úplnost dat.

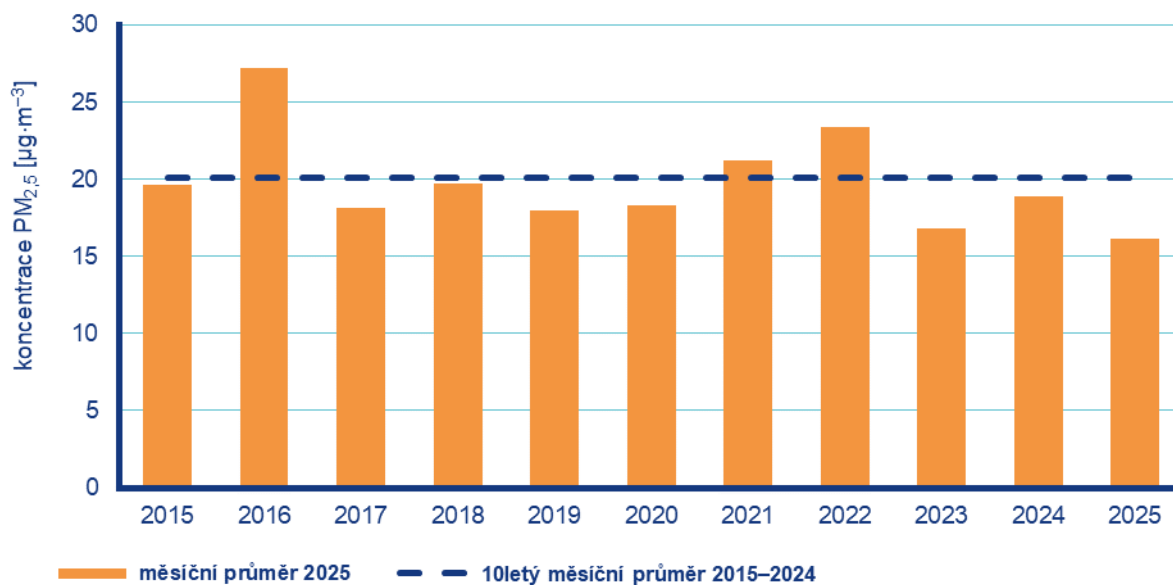
Obr. 4.3.1 Procento dní s překročením doporučené hodnoty WHO ($15 \mu\text{g}\cdot\text{m}^{-3}$) pro průměrnou 24hodinovou koncentraci $\text{PM}_{2,5}$, prosinec 2025



Poznámka: Průmyslové stanice jsou umístěny převážně v Moravskoslezském kraji; z tohoto důvodu nejsou průmyslové stanice uvedeny v grafu celorepublikových průměrů.

DRP = dobré rozptylové podmínky, MNRP = mírně nepříznivé rozptylové podmínky, NRP = nepříznivé rozptylové podmínky

Obr. 4.3.2 Vývoj průměrných denních koncentrací $\text{PM}_{2.5}$, celorepublikového průměru teploty vzduchu a celorepublikového průměru ventilačního indexu (model ALADIN), prosinec 2025



Obr. 4.3.3 Průměrné měsíční koncentrace $\text{PM}_{2.5}$ v České republice, prosinec 2015–2025

4.4 Ostatní látky

Oxid dusičitý NO₂

Hodnota hodinového imisního limitu NO₂ je 200 µg·m⁻³. Legislativa připouští na měřicí stanici nejvíce 18 překročení hodnoty imisního limitu, při vyšším počtu je imisní limit považován za překročený. Vzhledem k závažnosti vlivu NO₂ na lidské zdraví jsou v této zprávě hodnoceny krátkodobé koncentrace nejen vzhledem k imisnímu limitu, ale i vzhledem k doporučené hodnotě WHO pro ochranu lidského zdraví (25 µg·m⁻³, průměrná 24hodinová koncentrace).⁹

Hodnota hodinového imisního limitu pro NO₂ nebyla v prosinci překročena na žádné z 87 stanic.

Doporučená hodnota WHO byla v prosinci překročena na 48 stanicích z 84 (Obr. 4.4.1). Překročení doporučené hodnoty je vyjádřeno procentem dní, kdy byla na dané stanici průměrná denní koncentrace NO₂ vyšší než doporučená hodnota WHO.

Celorepublikový měsíční průměr koncentrací NO₂ byl v prosinci nejnižší za období 2015–2025. V porovnání s desetiletým průměrem (2015–2024) byly průměrné koncentrace NO₂ o 23 % nižší.

Oxid siřičitý SO₂

Hodnota hodinového imisního limitu SO₂ je 350 µg·m⁻³, hodnota 24hod. imisního limitu je 125 µg·m⁻³. Legislativa připouští na měřicí stanici nejvíce 24, resp. 3 překročení hodnoty imisního limitu, při vyšším počtu je imisní limit považován za překročený.

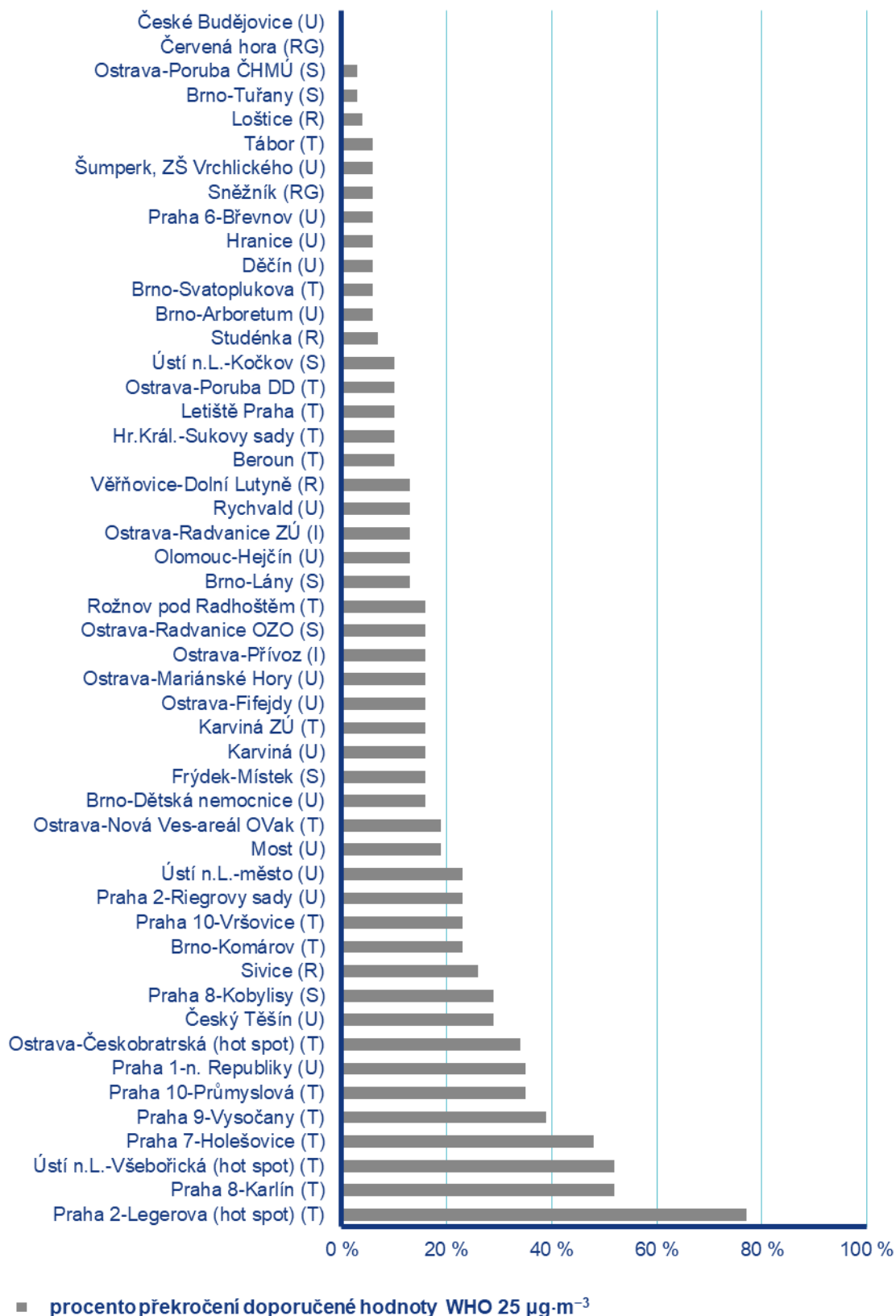
Hodnoty hodinového ani 24hod. imisního limitu pro SO₂ nebyly v prosinci překročeny na žádné ze 48 stanic.

Celorepublikový měsíční průměr koncentrací SO₂ byl v prosinci nejnižší za období 2015–2025. V porovnání s desetiletým průměrem (2015–2024) byly průměrné koncentrace SO₂ o 41 % nižší.

Oxid uhelnatý CO

Denní maximum 8hodinových koncentrací oxidu uhelnatého (CO) nepřekročily v prosinci 2025 hodnotu svého imisního limitu.

⁹ <https://iris.who.int/handle/10665/345329>



Poznámka: V grafu je uvedeno 50 nejhorších stanic bez ohledu na úplnost dat.

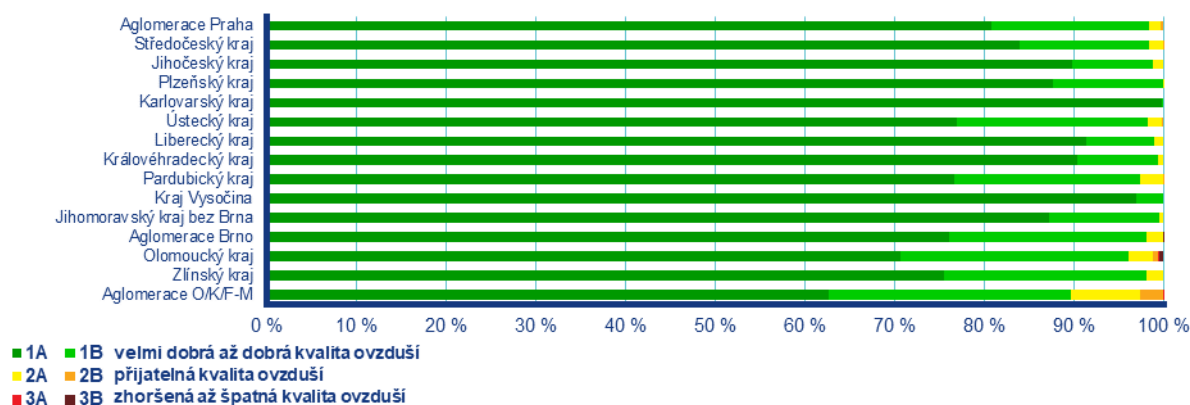
Obr. 4.4.1 Procento dní s překročením doporučené hodnoty WHO ($25 \mu\text{g}\cdot\text{m}^{-3}$) pro průměrnou 24hodinovou koncentraci NO_2 , prosinec 2025

4.5 Index kvality ovzduší

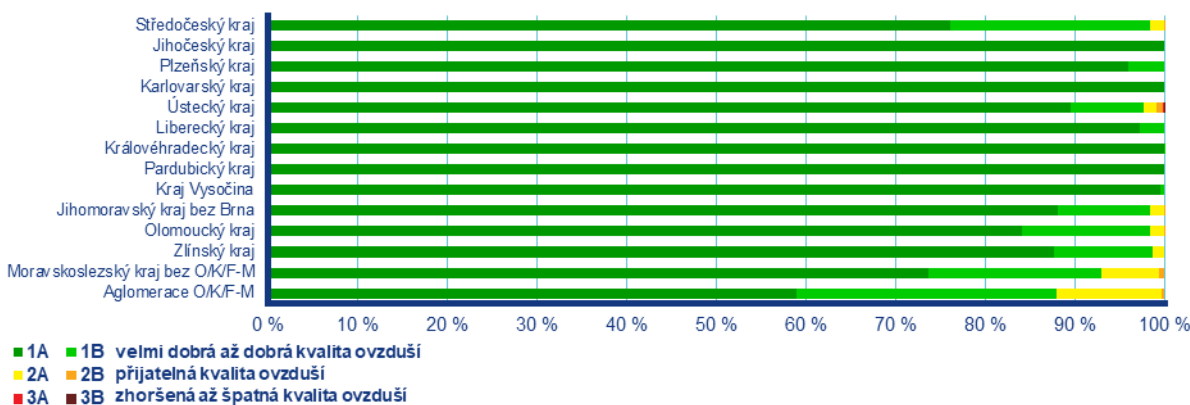
Během prosince byla na měřicích stanicích převážně velmi dobrá až dobrá kvalita ovzduší¹⁰.

Na městských a předměstských stanicích se pouze velmi dobrá až dobrá kvalita ovzduší vyskytovala v Karlovarském kraji a v Kraji Vysočina (100 %). Nejméně často pak v aglomeraci O/K/F-M (90 %; Obr. 4.5.1). Zhoršená až špatná kvalita ovzduší byla zaznamenána v Olomouckém kraji a v aglomeracích Brno a O/K/F-M (< 1 %).

Na venkovských stanicích¹¹ se pouze velmi dobrá až dobrá kvalita ovzduší vyskytovala v krajích Jihočeském, Plzeňském, Karlovarském, Libereckém, Královéhradeckém, Pardubickém a v Kraji Vysočina (100 %). Nejméně často pak v aglomeraci O/K/F-M (99 %; Obr. 4.5.2). Zhoršená až špatná kvalita ovzduší se vyskytovala pouze v Ústeckém kraji (< 0,5 %).



Obr. 4.5.1 Skladba indexu kvality ovzduší na městských a předměstských pozadových stanicích, prosinec 2025



Obr. 4.5.2 Skladba indexu kvality ovzduší na venkovských pozadových stanicích, prosinec 2025

¹⁰ <https://www.chmi.cz/kvalita-ovzduisi/imise-informacni-system-hodnoceni-kvality-ovzduisi/podklady-pro-hodnoceni-ko/hodnoceni-ko-index-kvality-ovzduisi>

¹¹ Pro venkovské stanice není ve všech krajích a aglomeracích k dispozici dostatek dat pro hodnocení.

4.6 Smogový a varovný regulační systém

V prosinci nebyly vyhlášeny žádné smogové situace. Prahové hodnoty PM₁₀, NO₂, SO₂ a O₃ pro vyhlášení smogové situace či smogová situace s regulací/varováním nebyly překročeny na žádné lokalitě SVRS.

Kontakty

Mgr. Josef Hanzlík, e-mail: josef.hanzlik@chmi.cz
vedoucí oddělení Operativní služby
tel.: 244 032 761

RNDr. Lenka Crhová, Ph.D., e-mail: lenka.crhova@chmi.cz
vedoucí oddělení Všeobecné klimatologie
tel.: 244 032 250

RNDr. Radek Čekal, Ph.D., e-mail: radek.cekal@chmi.cz
vedoucí oddělení Hydrologických předpovědí
tel.: 244 032 356

doc. Dr. Ing. Martin Možný, e-mail: martin.mozny@chmi.cz
vedoucí oddělení Biometeorologických aplikací
tel.: 244 032 206

Ing. Václav Novák, e-mail: vaclav.novak@chmi.cz
vedoucí oddělení Informační systém kvality ovzduší (hodnocení kvality ovzduší)
tel.: 244 032 402

Mgr. Ondřej Vlček, e-mail: ondrej.vlcek@chmi.cz
vedoucí oddělení Modelování a expertíz (SVRS)
tel.: 244 032 488

Mgr. Pavlína Míčová, Ph.D.
vedoucí oddělení marketingu a PR
e-mail: pavlina.micova@chmi.cz, info@chmi.cz
tel.: 244 032 724, 724 267 739
www.chmi.cz